信学会FIT Student Branch講演会 15 Nov., 2024

無線システムの電波伝搬理解に役立つ確率・統計モデル

唐沢 好男

自己紹介; 信学会通ソマガジン B-plus

https://www.jstage.jst.go.jp/article/bplus/16/3/16_238/_pdf

内容

第一部: 確率分布

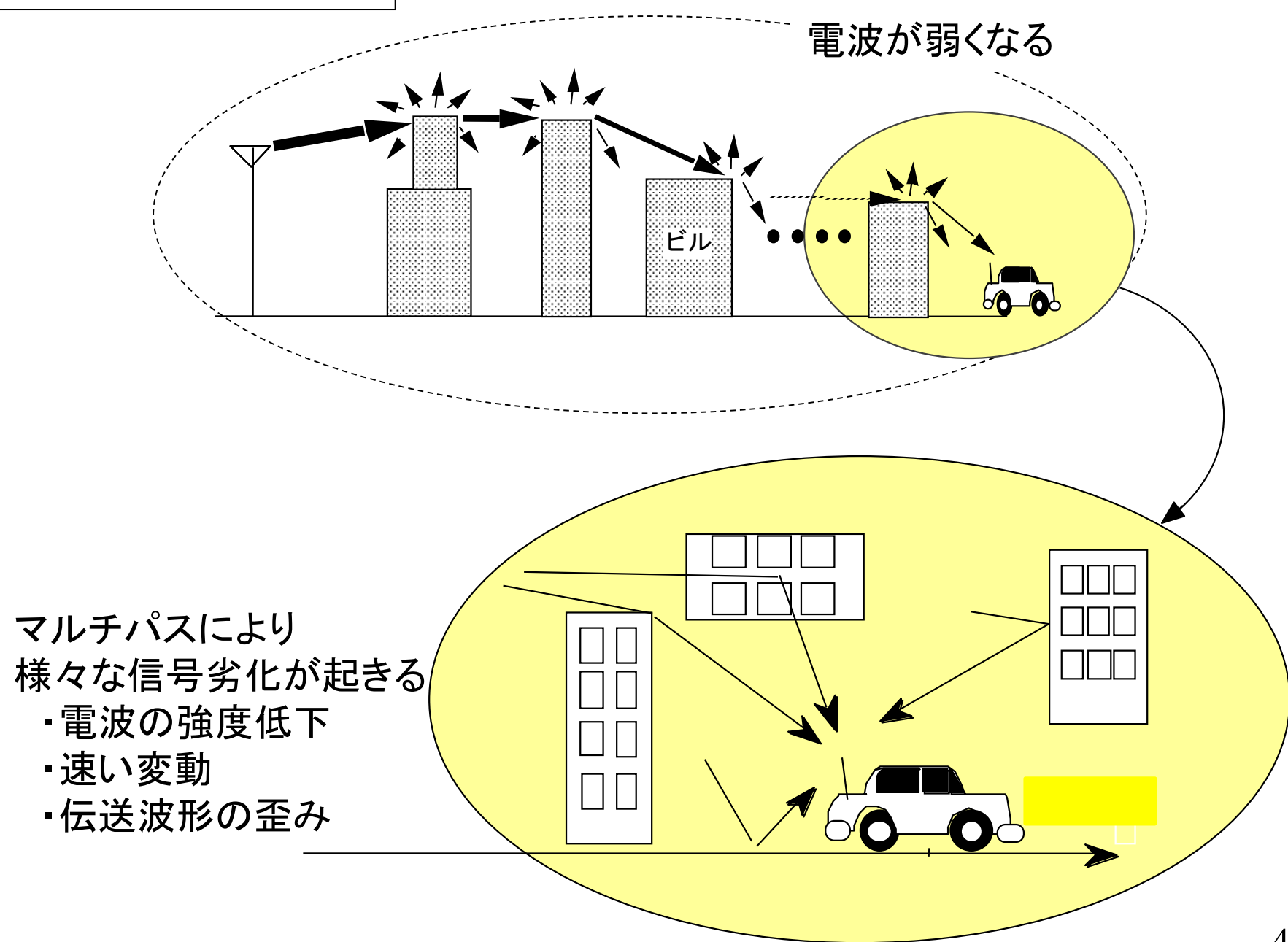
- 無線通信と電波伝搬
- ・確率過程加法性確率過程と正規分布乗法性確率過程と対数正規分布
- ・移動通信の電波伝搬モデル レイリー分布 仲上・ライス分布 仲上m分布

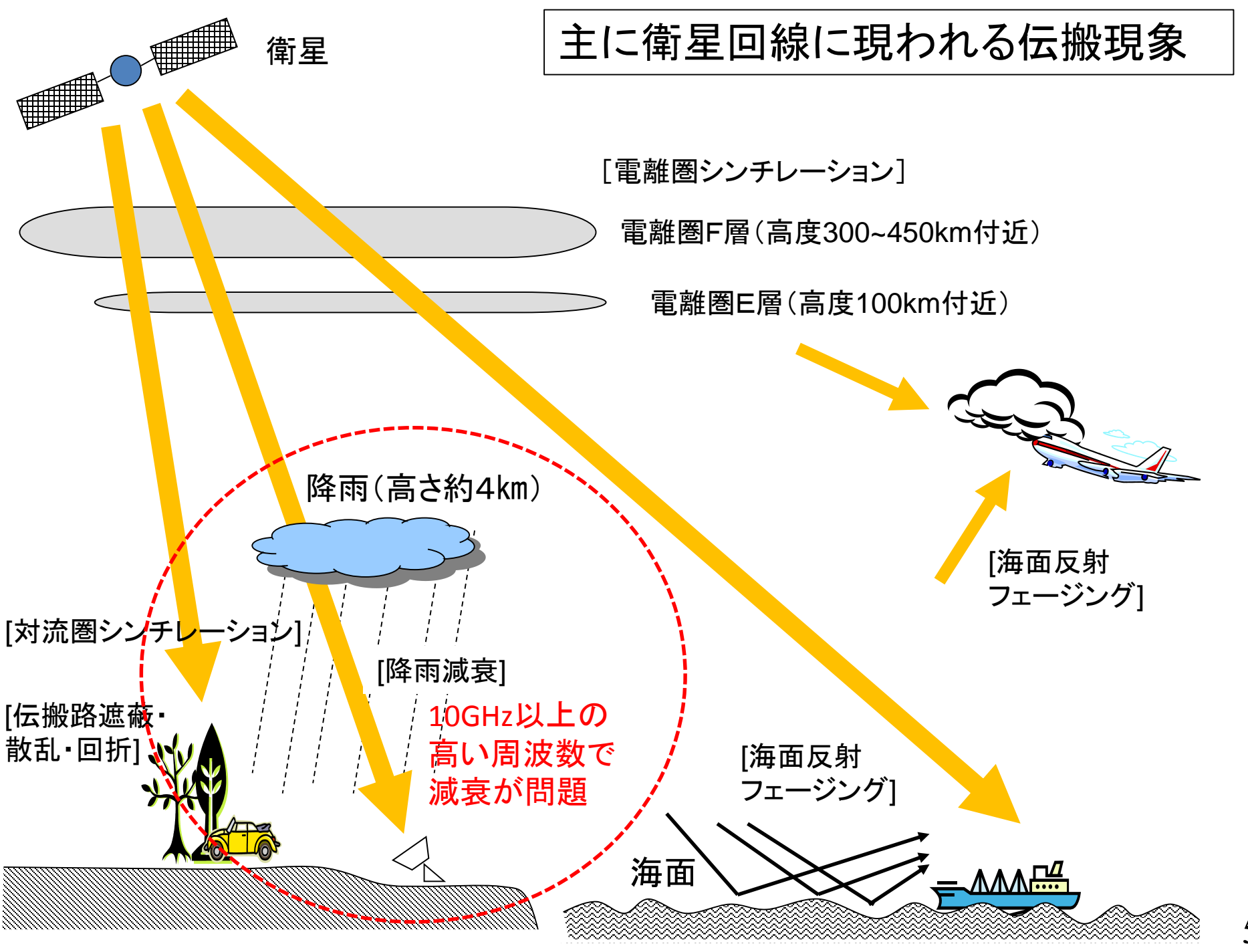
第二部: 統計的推定

- 地球温暖化時代において雨の降り方は変わってきたのか?を一緒に考えてゆこう(降雨は無線通信の重要問題)
- •統計的推定手法

回帰直線と区間推定:誤った結論を出さないために 回帰曲線と赤池情報量基準(AIC):より良いモデルを見つけるために 極値統計:想定外の出来事を想定外にしないために

移動通信の電波伝搬





確率と確率分布(確率密度関数と累積分布関数)

確率 ある事象の起こりやすさ(あるいは、確からしさ)の指標: 値は 0~1

分かりやすい例: 事象が限られた数 ・コインの裏表(1/2)、 さいころの目(1/6)

分かりにくい例: 事象が無限にある(=連続量)

- ・明日の最高気温が15°Cになる確率 (答えられない)
- 明日の最高気温が15℃以上になる確率 (条件が与えられれば答えられる)

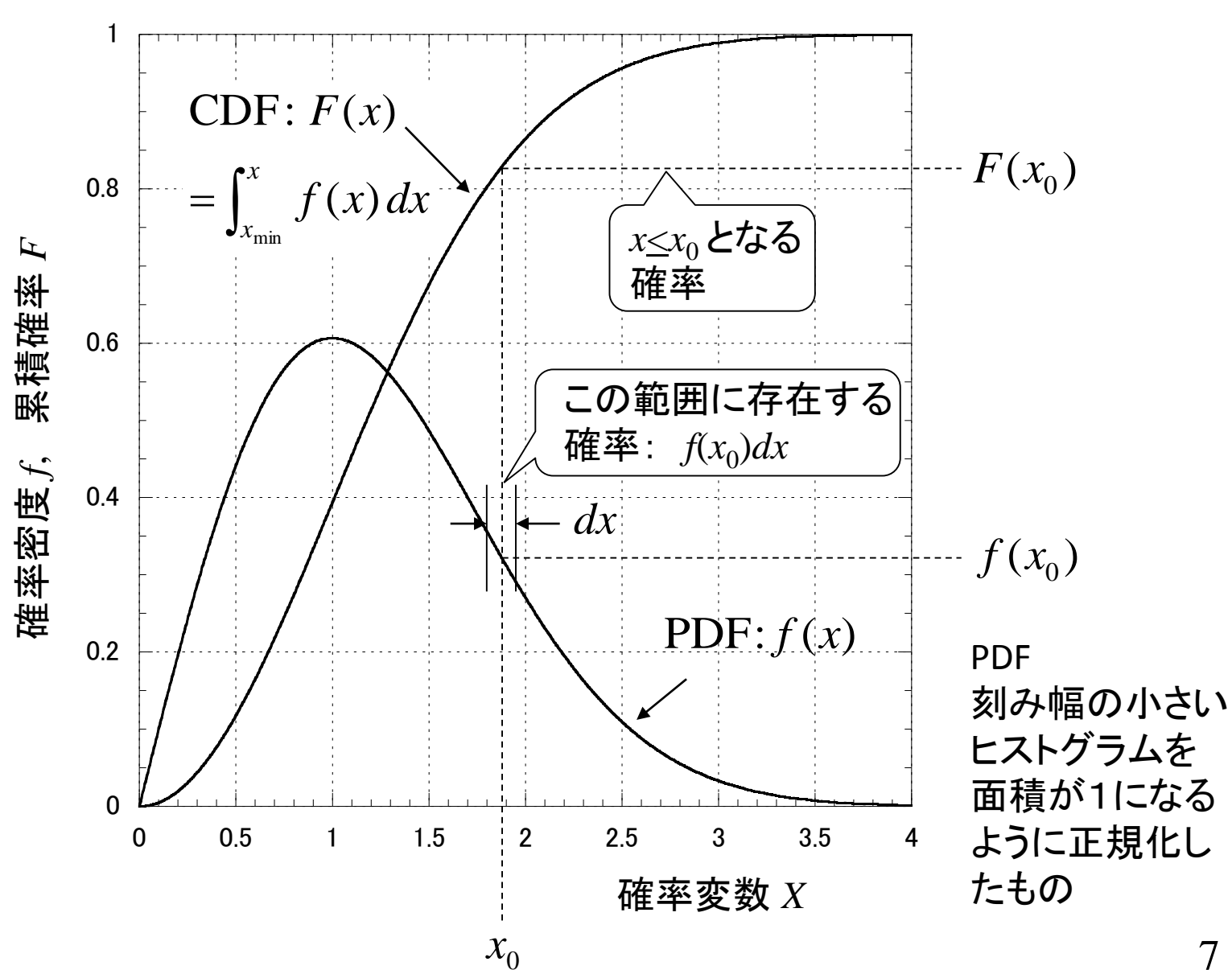
確率密度関数 (PDF) f(x)

確率変数Xが、微小区間 $x-\frac{\Delta x}{2} \le X \le x+\frac{\Delta x}{2}$ にある確率: $f(x)\Delta x$

累積分布関数 (CDF) F(x)

確率変数Xが $X \le x$ である確率 $F(x) = \int_{-\infty}^{x} f(x) dx$

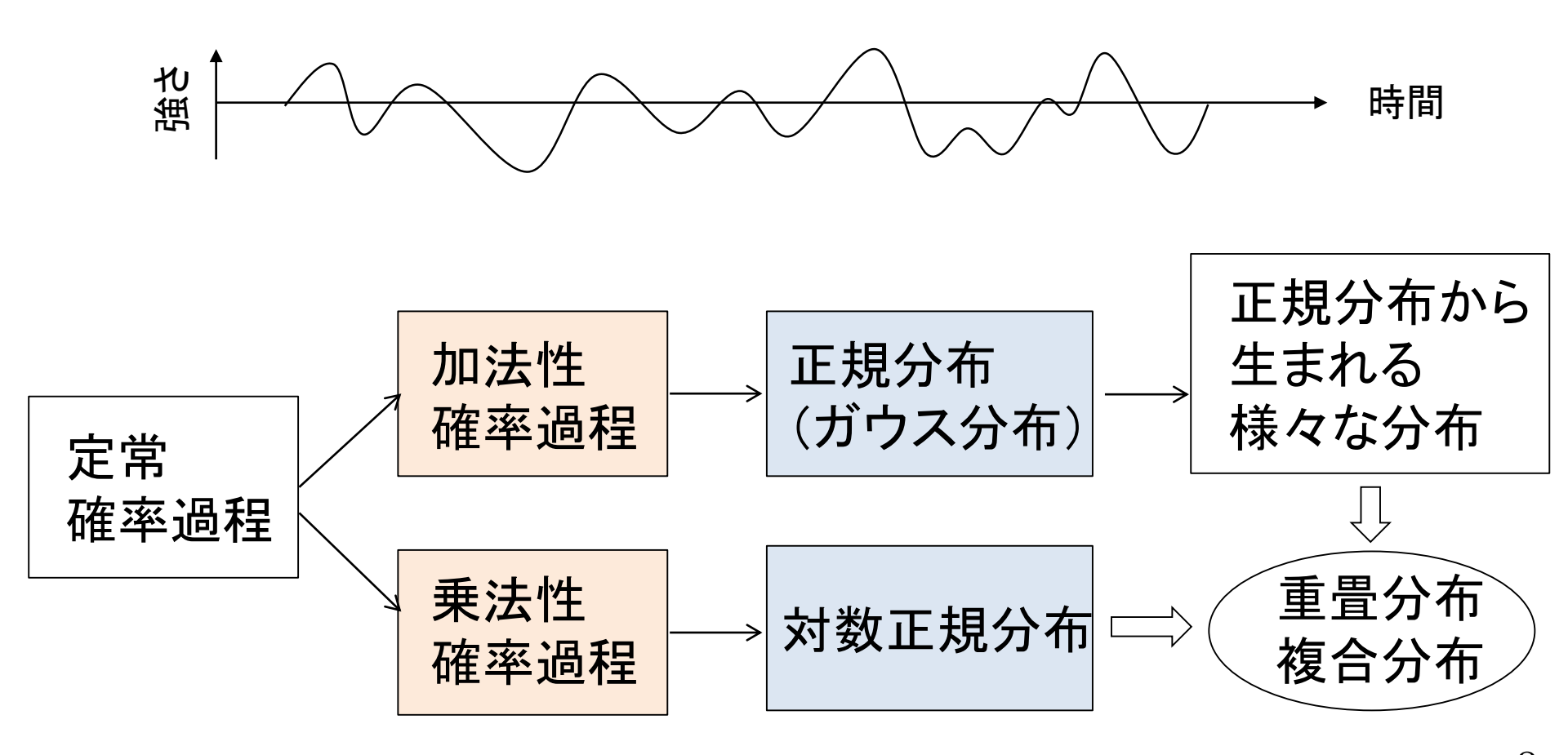
確率密度関数(PDF)と累積分布関数(CDF)



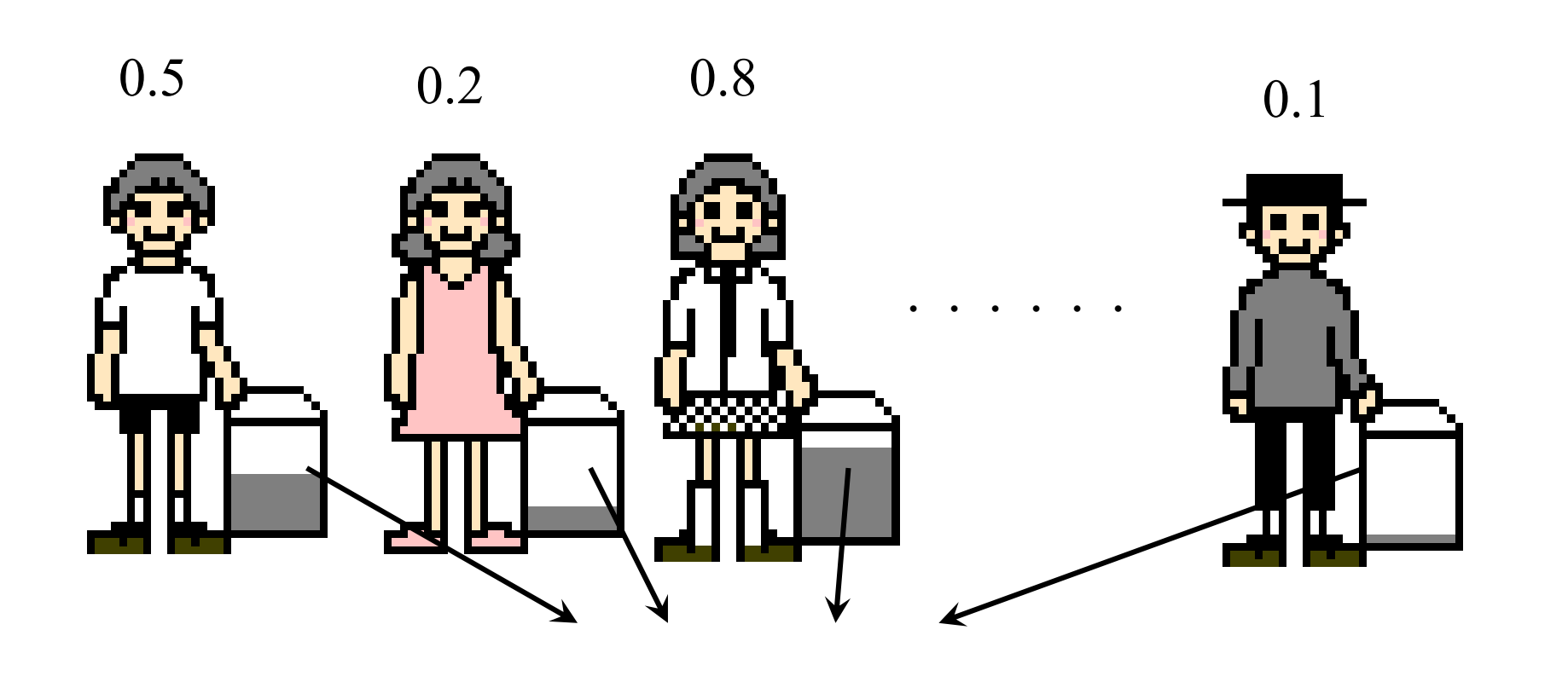
移動伝搬と確率過程

電波伝搬: 電波と自然現象との関わりを扱う分野

不規則媒質中の電波伝搬 → 確率過程



正規分布(ガウス分布、Normal distribution, Gaussian distribution): 加法性確率過程(Additive Stochastic Process)



中心極限定理 Central limit theorem

正規分布
$$N(m, \sigma^2)$$

$$f(x) = \frac{1}{\sqrt{2\pi}\sigma} \exp\left\{-\frac{(x-m)^2}{2\sigma^2}\right\}$$

中心極限定理(Central Limit Theorem)

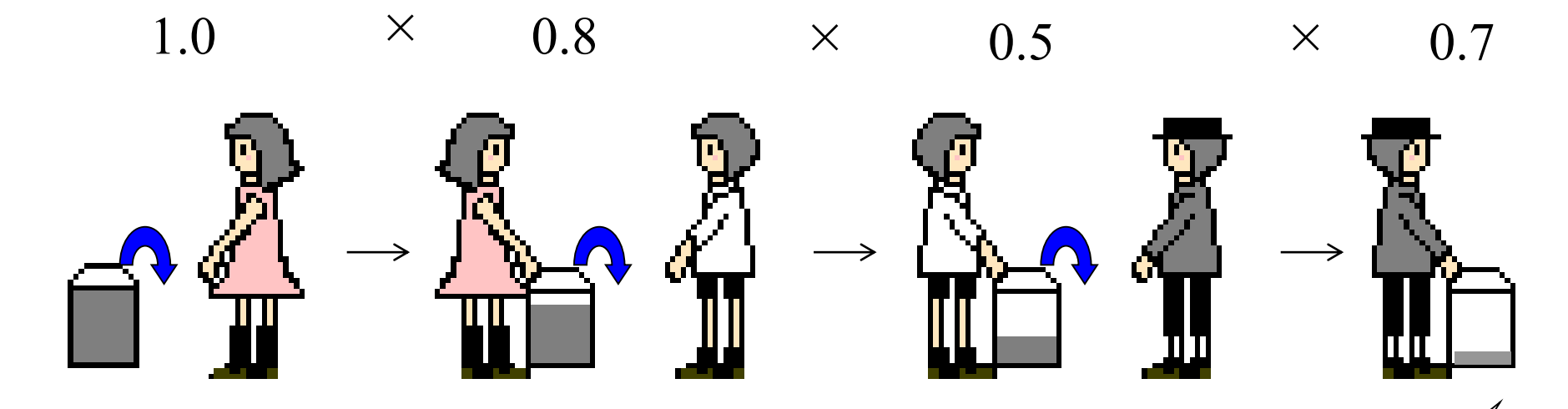
Nが十分大きいとき、正規分布になる

個々の作用が足し算される現象の物理量は正規分布に 漸近する ⇒ 正規分布は確率分布の基本中の基本分布

この証明は、どの確率の教科書にも書かれていて、さほど難しくない。 しかし、その証明を理解するためには、確率分布の和の分布を求める 特性関数(あるいは積率母関数)の知識が必要 対数正規分布(log-normal distribution)

乗法性確率過程(Multiplicative Stochastic Process)

$$x = x_1 \cdot x_2 \cdot x_3 \cdots x_N$$
 正規分布
$$\log x = \log x_1 + \log x_2 + \log x_3 + \cdots + \log x_N$$



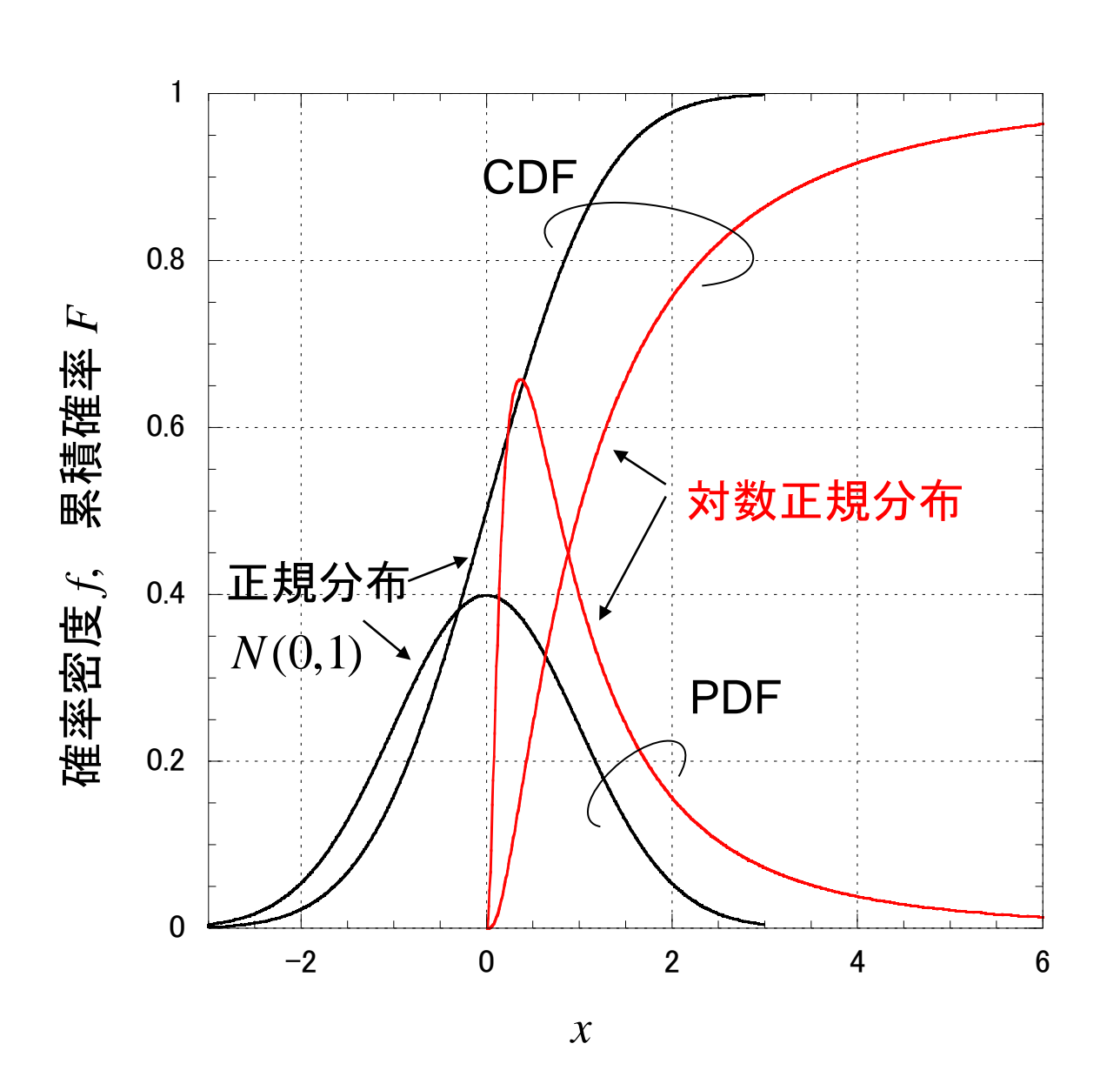
対数で表された量(例えばdB値) が正規分布するときの

真数値xの分布(誤差を倍半分で見る世界)

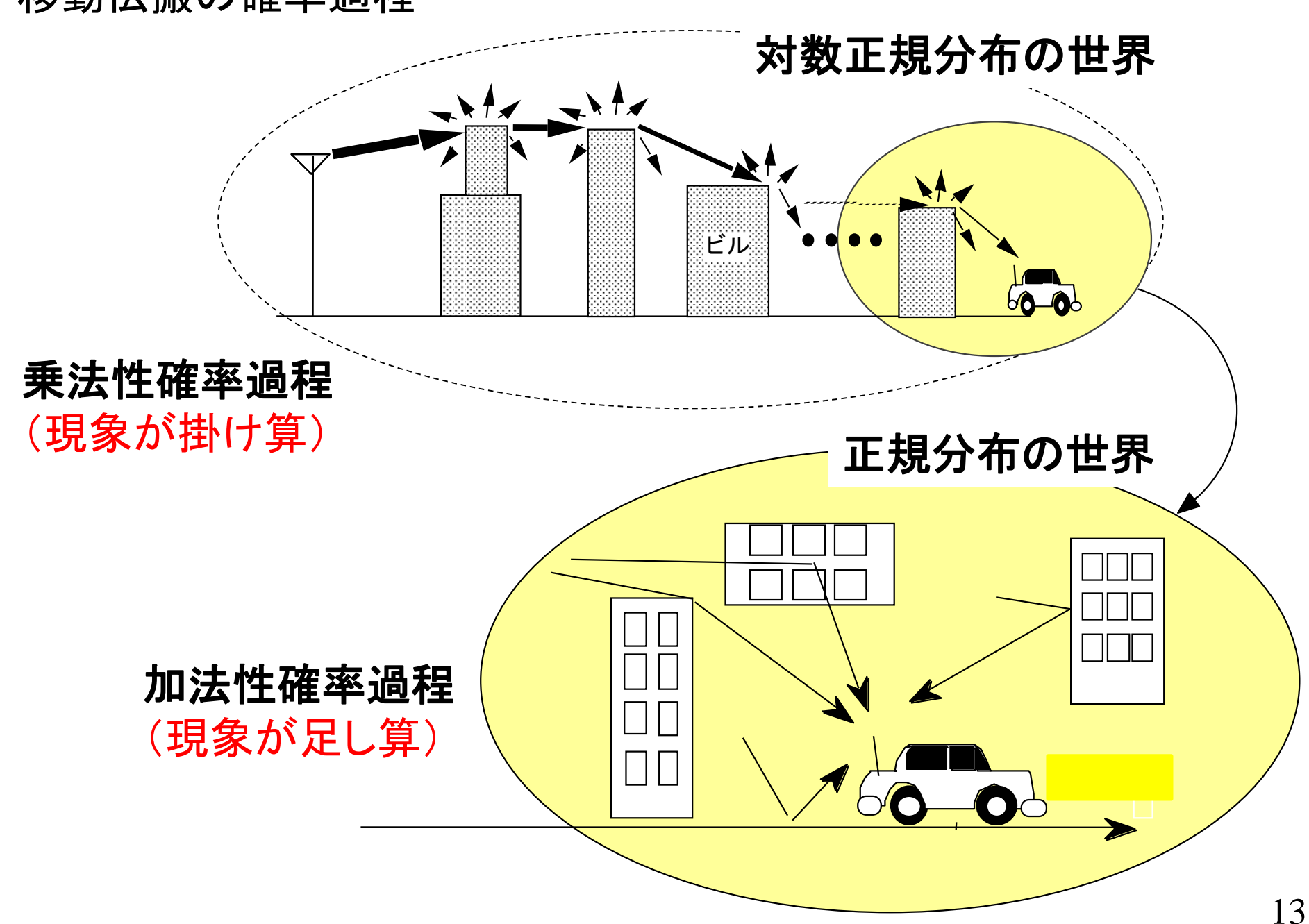
対数正規分布
$$f(x) = \frac{1}{\sqrt{2\pi}\sigma x} \exp\left\{-\frac{(\log x - m)^2}{2\sigma^2}\right\}$$

 (m, σ) は $\log x$ の平均値と標準偏差)

正規分布と対数正規分布の 確率密度関数(PDF)と累積分布関数(CDF)



移動伝搬の確率過程



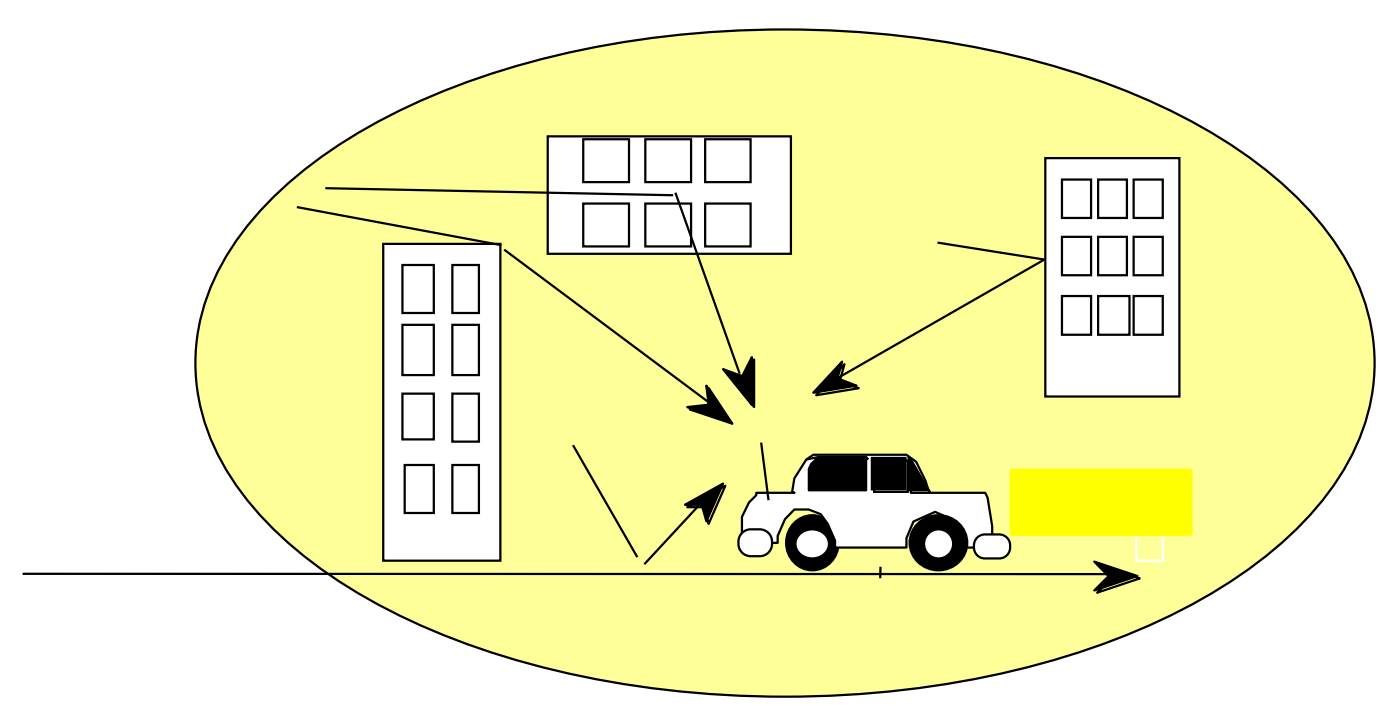
移動伝搬モデルに現れる基本確率分布

通信モデルと確率分布

物理量	代表的確率分布
雑音 信号強度	正規分布 レイリー分布、仲上・ライス分布、Loo分布 (NLOS) (LOS) (SLOS)
待ち時間 発生回数 ダイバーシチ MIMO 遮へい減衰 ・	仲上m分布 指数分布 ポアソン分布 ガンマ分布(カイ二乗分布) ウィシャート分布 対数正規分布 ・

マルチパスフェージングの振幅変動を表す確率分布

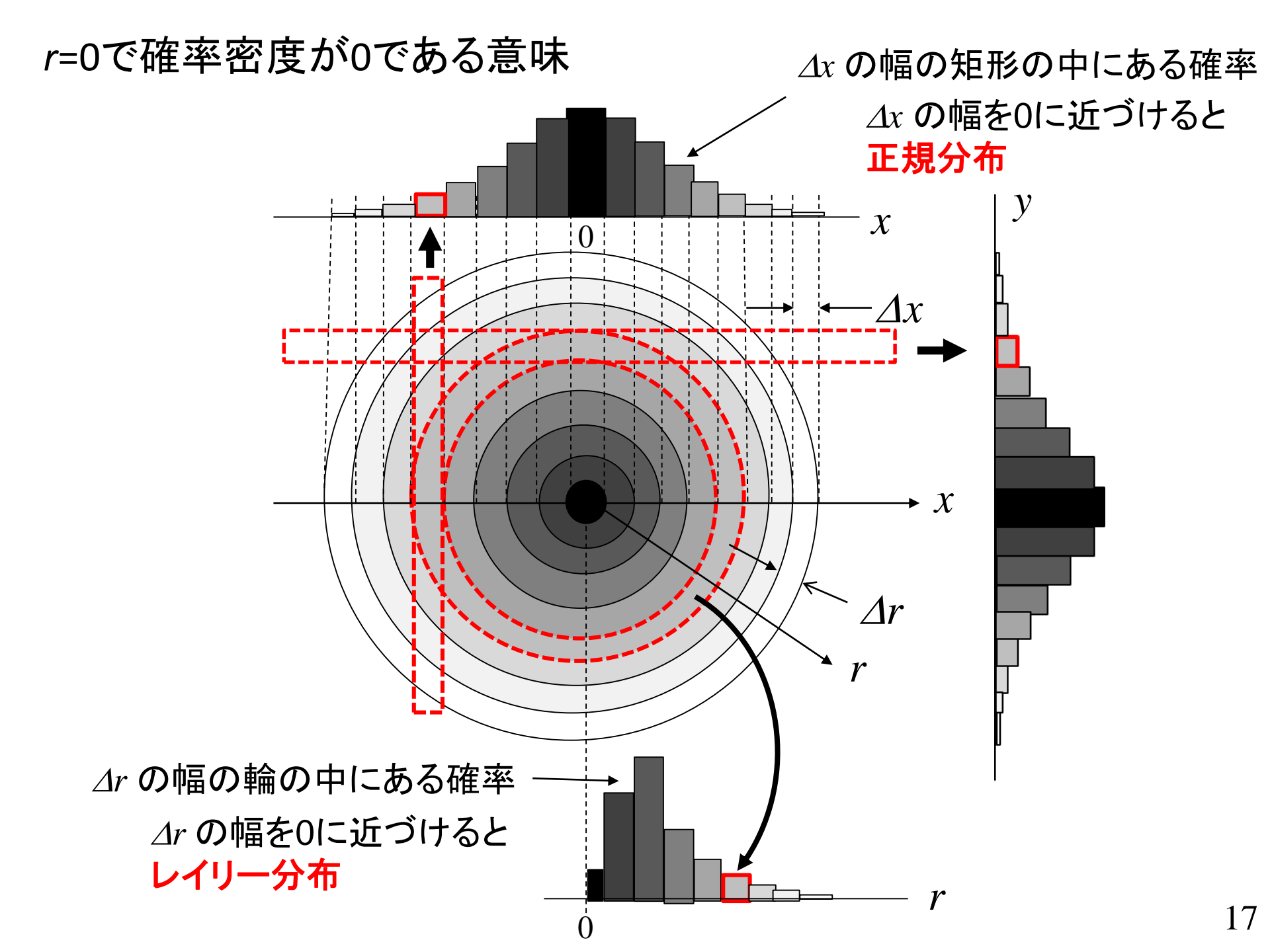
加法性確率過程



- ① レイリー分布
- ② 仲上・ライス分布
- ③ 仲上m分布

① レイリー分布

見通し外のフェージング環境(レイリーフェージング環境)を表す 移動通信の基本分布



レイリー分布

無相関2次元正規分布の振幅の分布

(Lord Rayleigh, 1880)

電波環境では: 同レベルの多数の波が合成された信号の包絡線レベルの分布 (見通し外(NLOS)伝搬環境)

$$a = r_1 e^{j\phi_1} + r_2 e^{j\phi_2} + \dots + r_N e^{j\phi_N}$$

$$= r_1 \cos \phi_1 + r_2 \cos \phi_2 + \dots + r_N \cos \phi_N + j \left(r_1 \sin \phi_1 + r_2 \sin \phi_2 + \dots + r_N \sin \phi_N \right)$$

$$x = r \cos \phi \rightarrow N(0, \sigma^2)$$

$$y = r \sin \phi \rightarrow N(0, \sigma^2)$$

$$r = |x + jy| \left(= \sqrt{x^2 + y^2}\right)$$

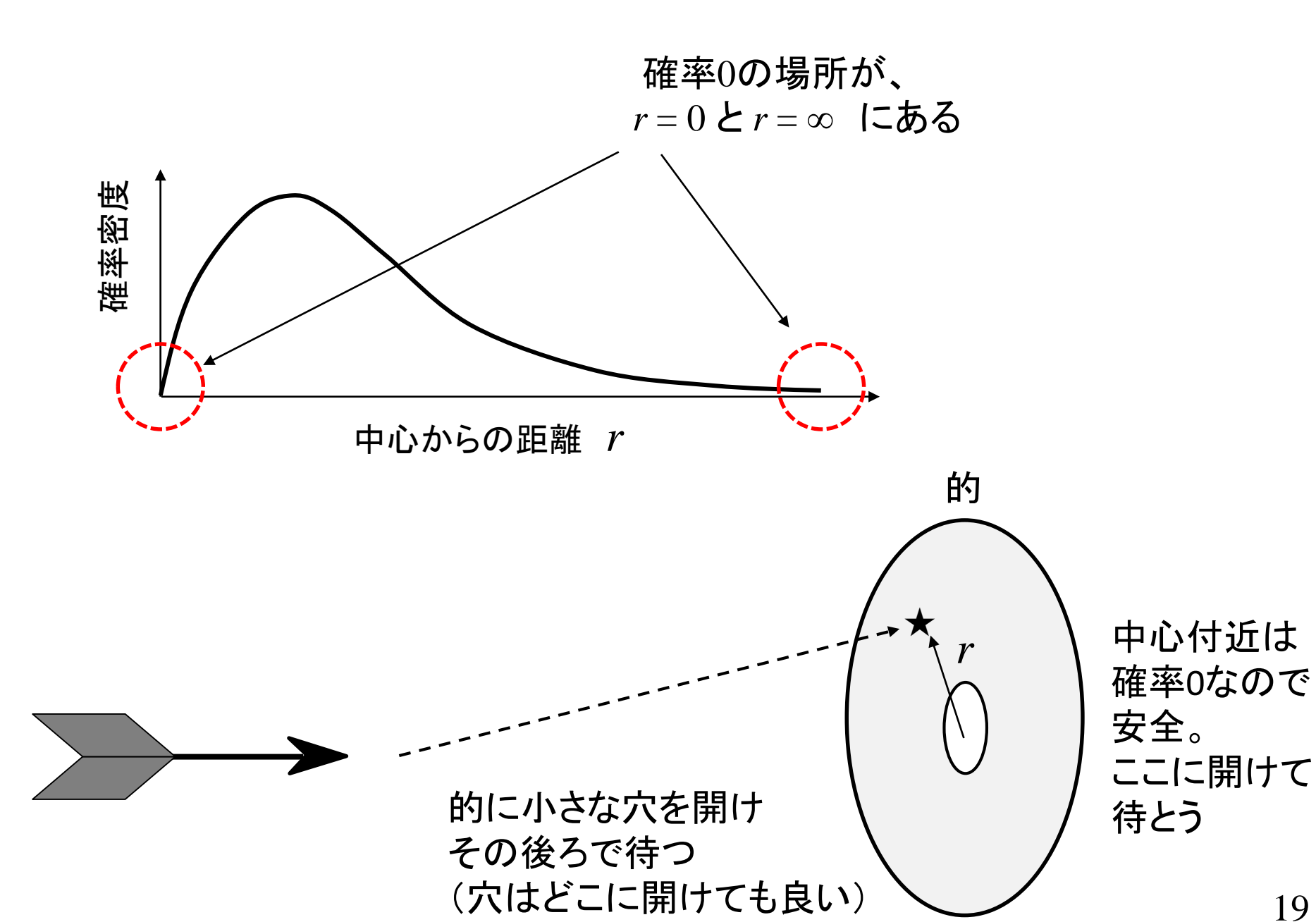
$$f_{xy}(x,y) = \frac{1}{2\pi\sigma^2} \exp\left(-\frac{x^2 + y^2}{2\sigma^2}\right)$$
 やコビアンの 絶対値



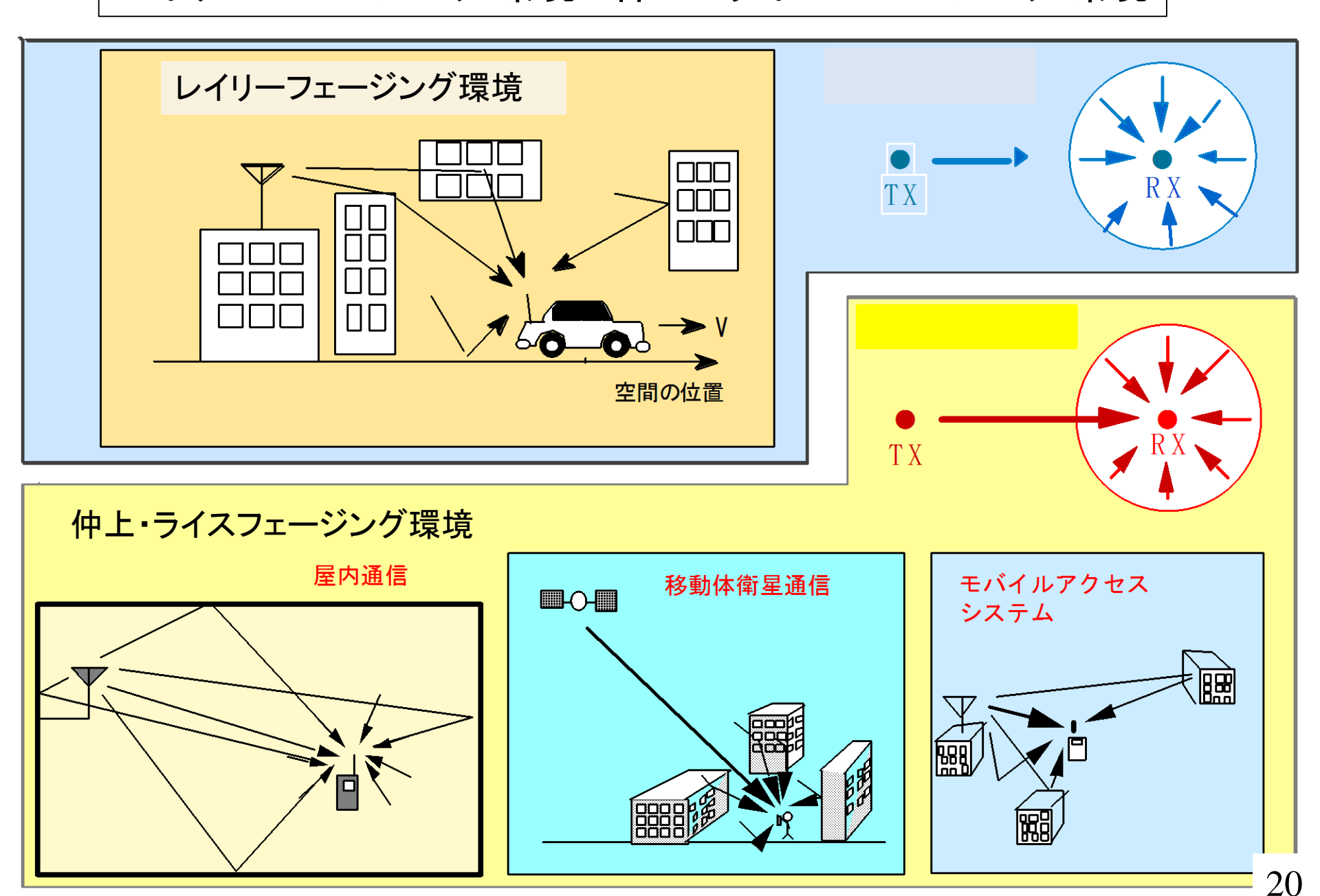
$$f_{r\phi}(r,\phi) = f_{xy}(x,y)$$
 $\int = \frac{r}{2\pi\sigma^2} \exp\left(-\frac{r^2}{2\sigma^2}\right)$ 変数 ϕ で積分した周辺確率分布

変数 ϕ で積分した周辺確率分布 $f(r) = \int_0^{2\pi} f(r,\phi)d\phi = \frac{r}{\sigma^2} \exp\left(-\frac{r^2}{2\sigma^2}\right)$

レイリー分布についての勘違い



レイリーフェージング環境と仲上・ライスフェージング環境



② 仲上・ライス分布

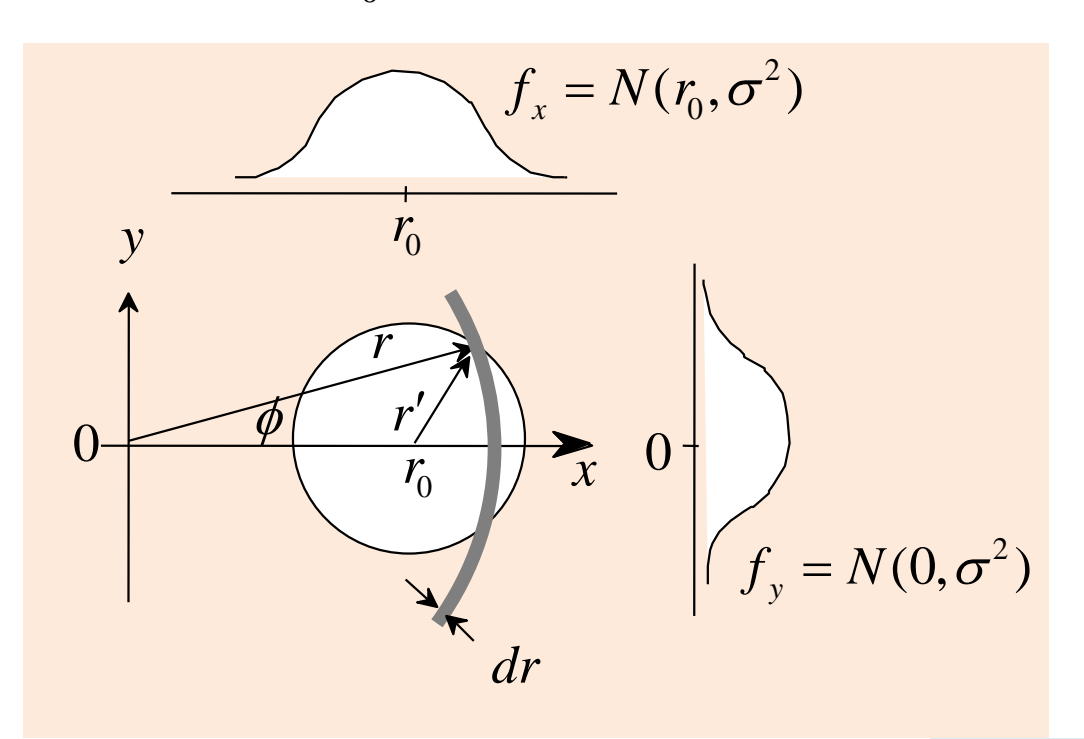
仲上稔とS.O. Rice が独立に編み出した確率分布

見通し内フェージング環境を表すモデルに使われる

② 仲上・ライス分布

(定常成分と不規則成分の合成信号振幅の確率分布) (仲上: 1940、Rice: 1945)

変数 x が $N(r_0,\sigma^2)$, y が $N(0,\sigma^2)$ であるときのx+jy の振幅 r の分布



$$r = |x + jy| \left(= \sqrt{x^2 + y^2} \right)$$

$$f_{r\phi}(r,\phi) = f_x(x) f_y(y) |J|$$

$$= \frac{r}{2\pi\sigma^2} \exp\left(-\frac{r_0^2 - 2r_0 r \cos\phi + r^2}{2\sigma^2} \right)$$

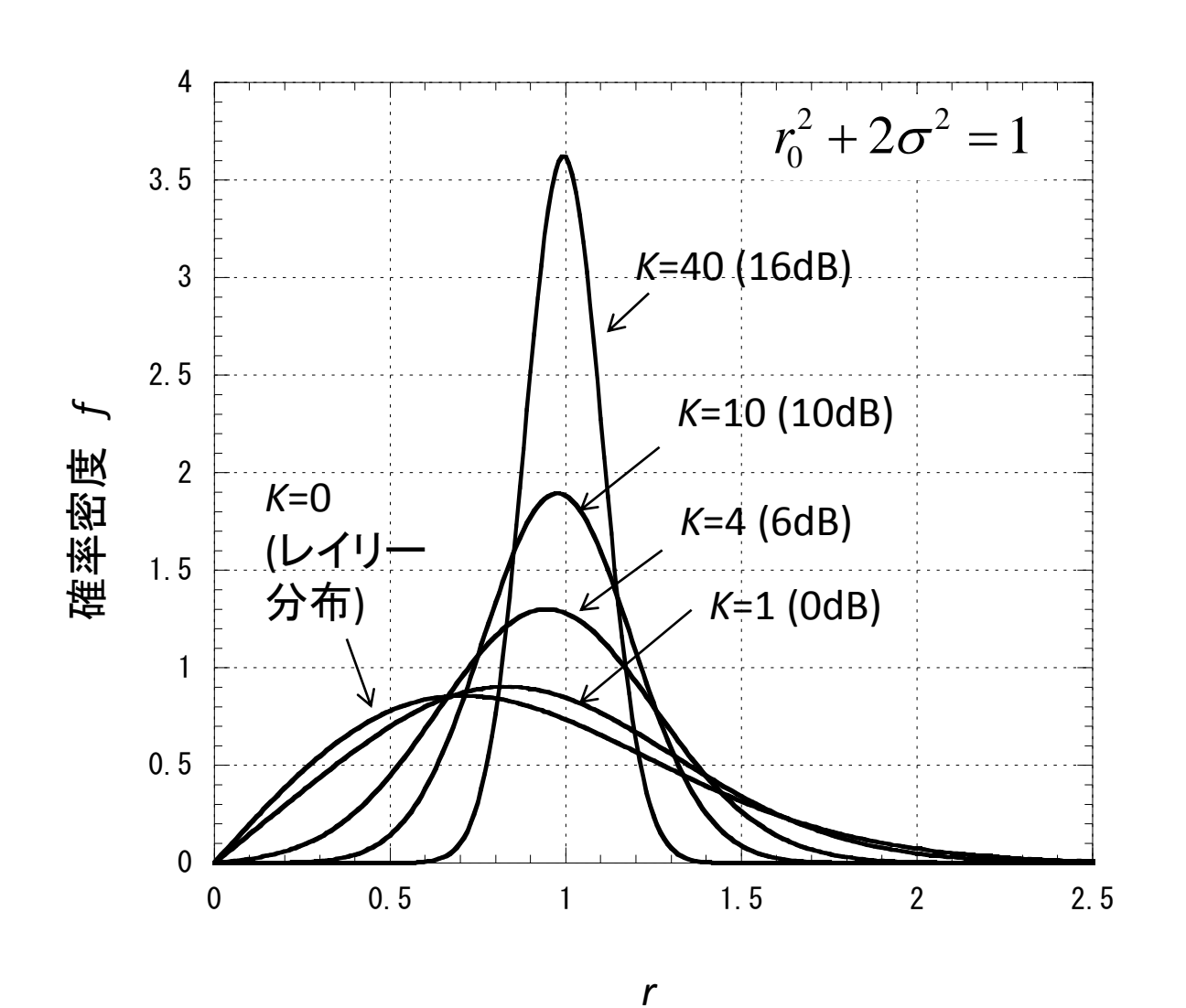
$$= \frac{r}{2\pi\sigma^2} \exp\left(-\frac{r_0^2 + r^2}{2\sigma^2} \right) \exp\left(\frac{r_0 r \cos\phi}{\sigma^2} \right)$$

r: 仲上・ライス分布 r': レイリー分布 (r₀=0で両者は一致)

$$f_r(r) = \int_0^{2\pi} f_{r\phi}(r,\phi) d\phi$$
$$= \frac{r}{\sigma^2} \exp\left(-\frac{r_0^2 + r^2}{2\sigma^2}\right) I_0\left(\frac{r_0 r}{\sigma^2}\right)$$

(変形ベッセル関数 /。の積分表示公式より)

仲上・ライス分布の計算例



ライスファクタ: *K* (定常成分と 不規則成分の電力比)

$$K \equiv \frac{r_0^2}{2\sigma^2}$$

見通し内(LOS)伝搬環境 を表す

仲上稔氏が研究開発に従事したころの時代背景

1930年代後半~1940年代 (昭和の激動期:太平洋戦争を挟んだその前後)

無線通信(国際通信)は短波通信の時代 (HF: 3~30MHz, 電離層伝搬)

所属: <u>国際電気通信株式会社</u>(当時の国策会社)

勤務地: 福岡受信所(現埼玉県ふじみ野市にあった短波の受信所)

伝搬データ: 記録紙やブラウン管の時代、データ処理も手作業 (現代は、ディジタル機器による自動収録・自動処理の時代)

仲上・ライス分布の名前の由来

仲上稔(国際電気通信株式会社) 短波のフェージングの研究

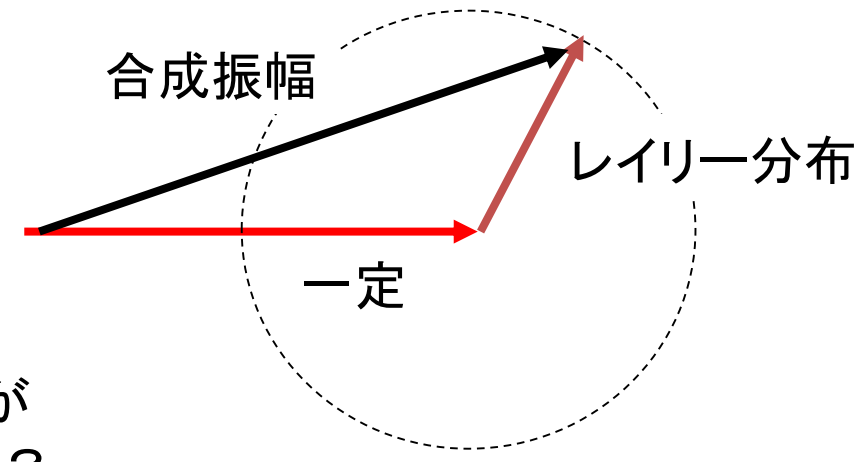
> 目的;多数の弱い電波の中に強い電波が 一つ加わるときの振幅の確率分布は? 解析手段:ハンケル変換形特性関数



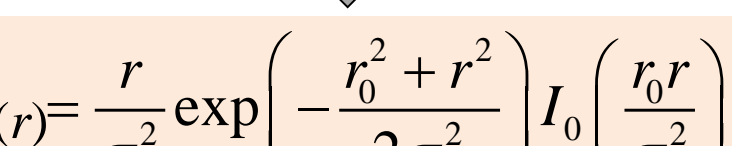
目的:一定振幅の信号に雑音が加わった ときの信号強度の確率分布は?

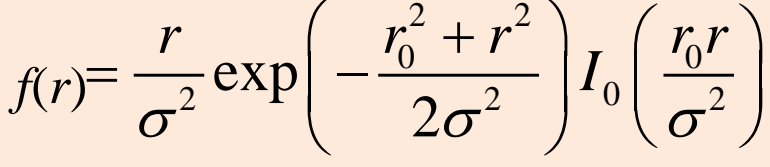
解析手段: 非中心2次元正規分布の振幅

確率(スライドに示した方法)



電気通信学会誌(1940)







ベル研の技術論文誌 BSTJ(1944/1945)

この分布は、洋の東西の同時代の研究者が、違う目的・違う方法で編み出された。

Rice distribution / Rician distribution



Nakagami-Rice distribution

ライス分布 (我が国先人の努力)

仲上・ライス分布

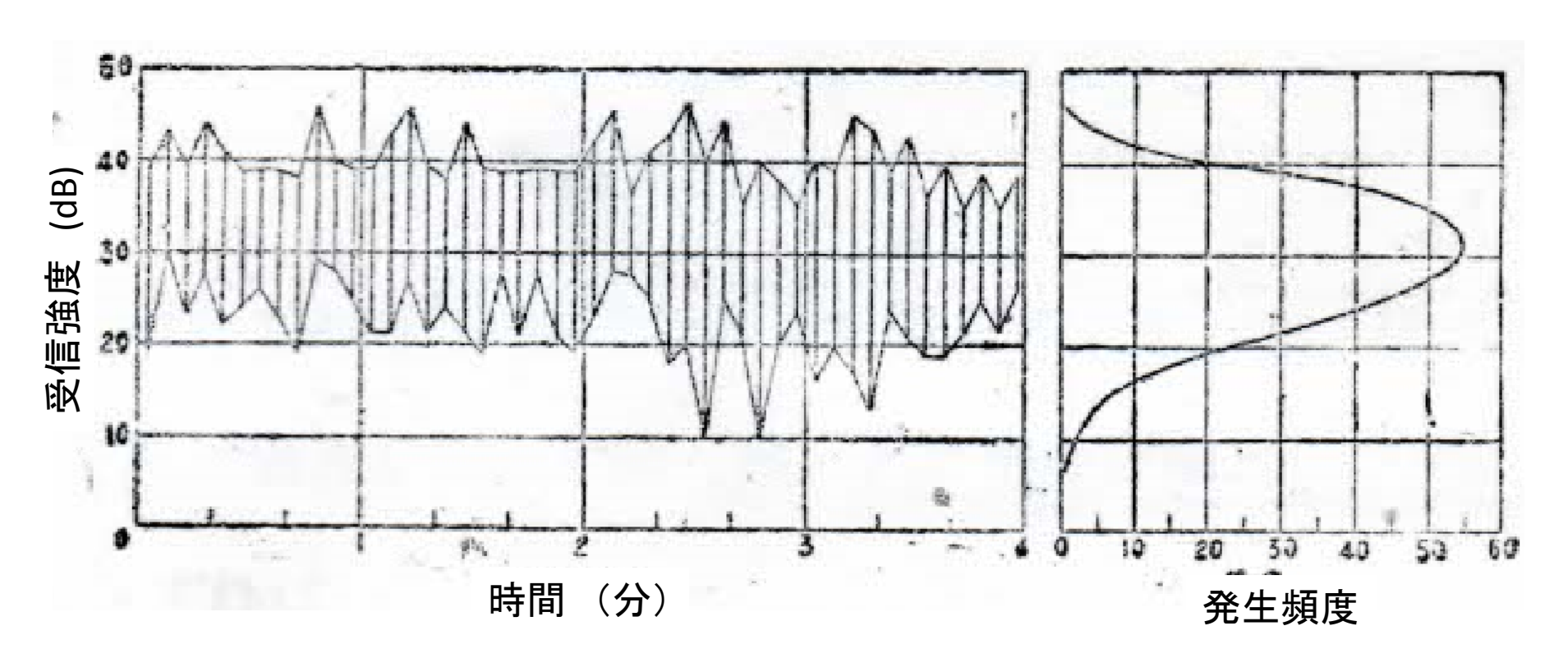
③ 仲上m分布(または、m分布、仲上分布)

移動通信のフェージング環境を表すのによく用いられる分布 世界の中で Nakagami distribution と言えば、この分布

謎に包まれた分布

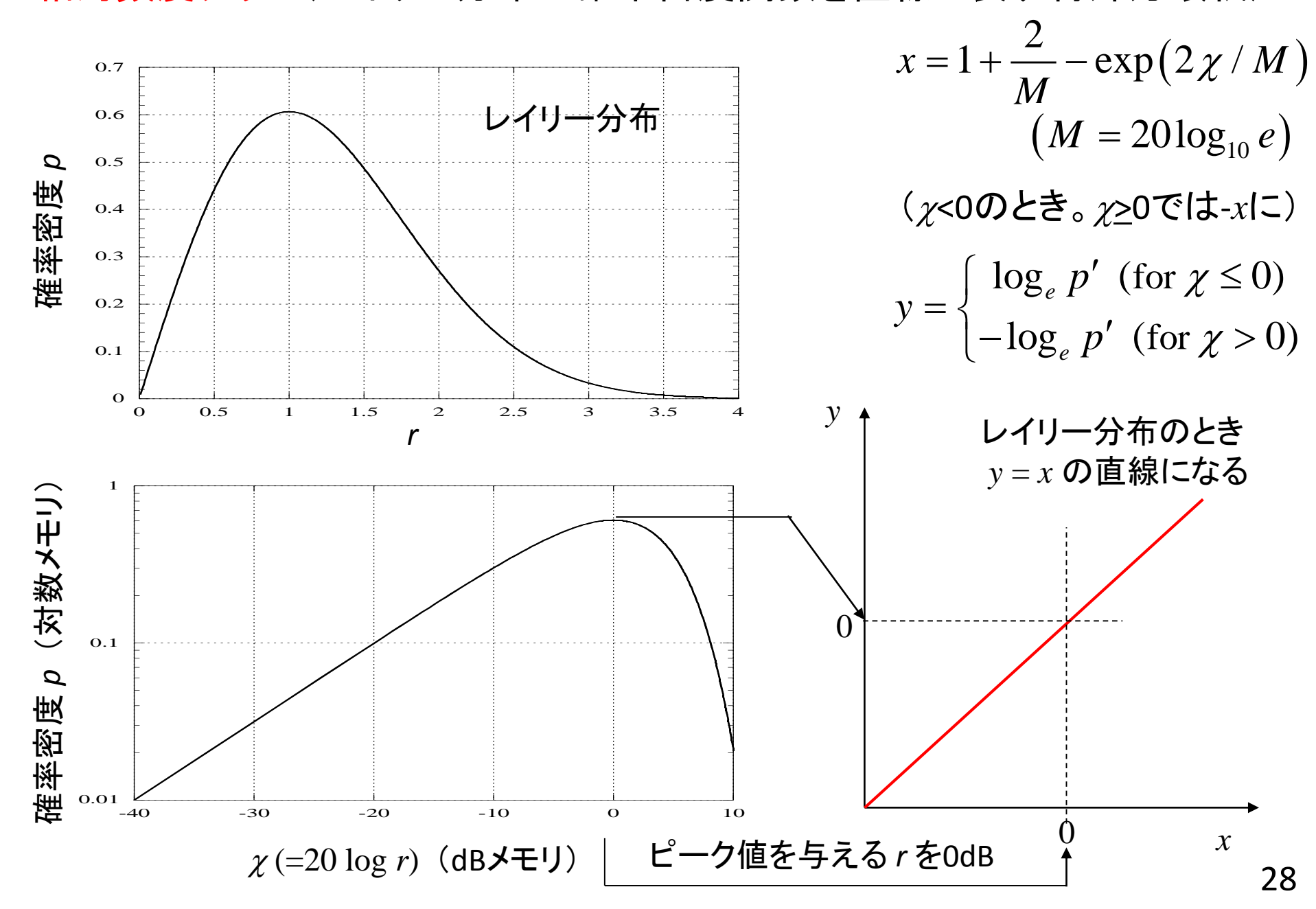
観測から生まれた経験式 → 基本的な理論分布の一つ

短波フェージングデータと頻度分布特性(下記文献の図2.3より)

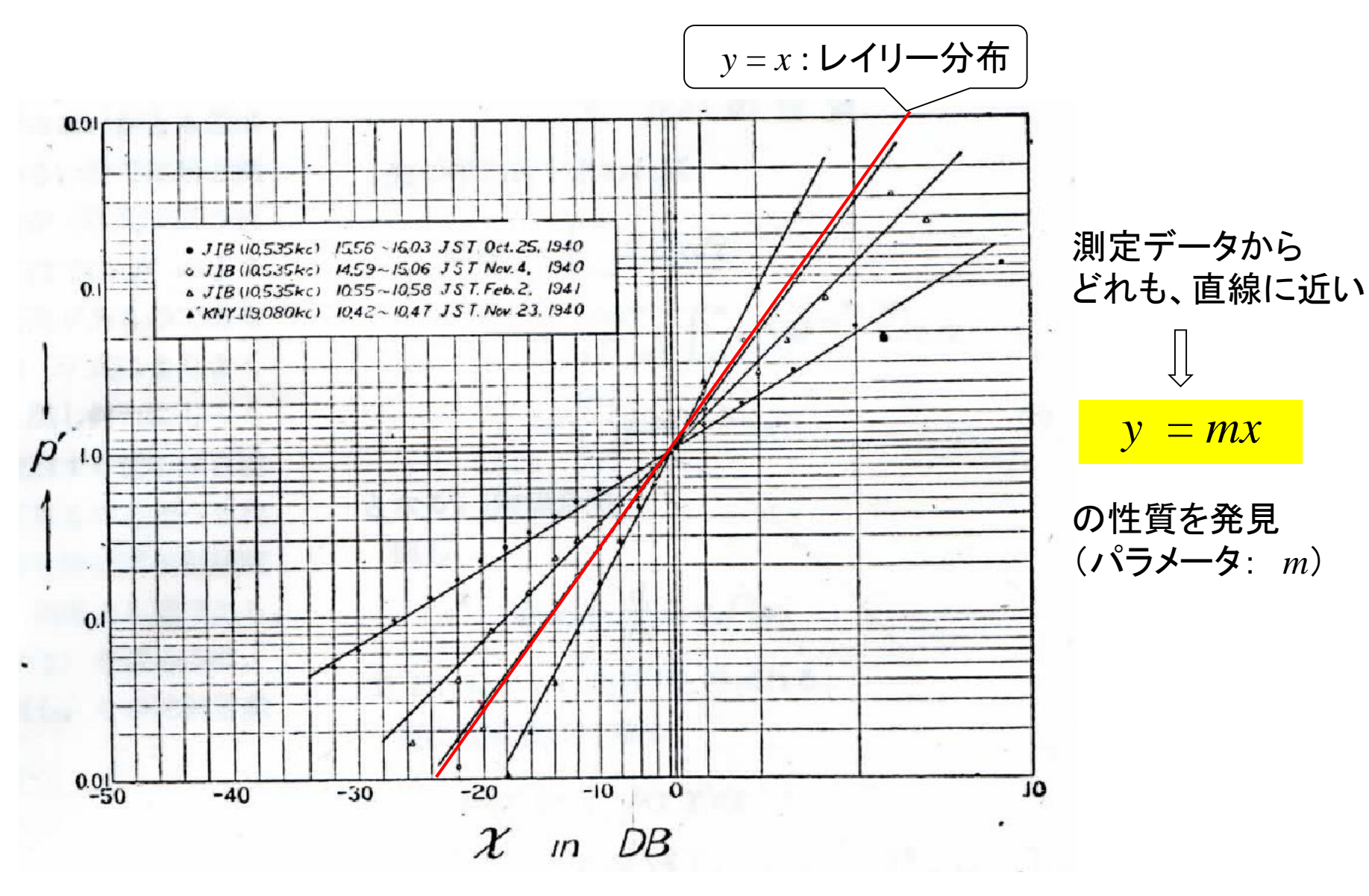


今のように自動記録したデータをパソコンが解析してくれる時代と違って、仲上が働いていた時代(1930~1940年代)には、測定データもブラウン管を見て写真を撮ったり自記記録計の紙データであったりで、解析もすべて手作業である。短波のフェージングの周期は数秒程度以下であるので、観測単位時間を3~5秒とし、その間における電界強度の変動の範囲(最大値と最小値)をもってその間の電界強度の変動を代表させ、これの数分間の連続記録(左)から頻度分布(右)を得ていたようである。

相対頻度グラフ(レイリー分布の確率密度関数を直線で表す特殊方眼紙)



短波フェージングの相対頻度特性 (下記文献の図1より)



仲上稔, "短波によるフェージングの統計的性質,"電気通信学会誌, no. 239, pp. 145-150, 1943.

仲上m分布

Nakagami-m distribution / Nakagami distribution / The m distribution (仲上稔、電気通信学会誌、1943)

仲上分布、m分布と呼ばれる場合もある。短波のフェージングデータの特性から 見出された分布であるが、移動通信のモデルにも役立つ非常に汎用的な分布

相対頻度グラフから y = mx を発見



分布の式の導出は最後のスライドに示す資料中に

$$f(r) = \frac{2m^m}{\Omega^m \Gamma(m)} r^{2m-1} \exp\left(-\frac{m}{\Omega}r^2\right) \qquad m \ge 0.5, \quad \Omega = \langle r^2 \rangle$$

$$m \ge 0.5$$
, $\Omega = \langle r^2 \rangle$

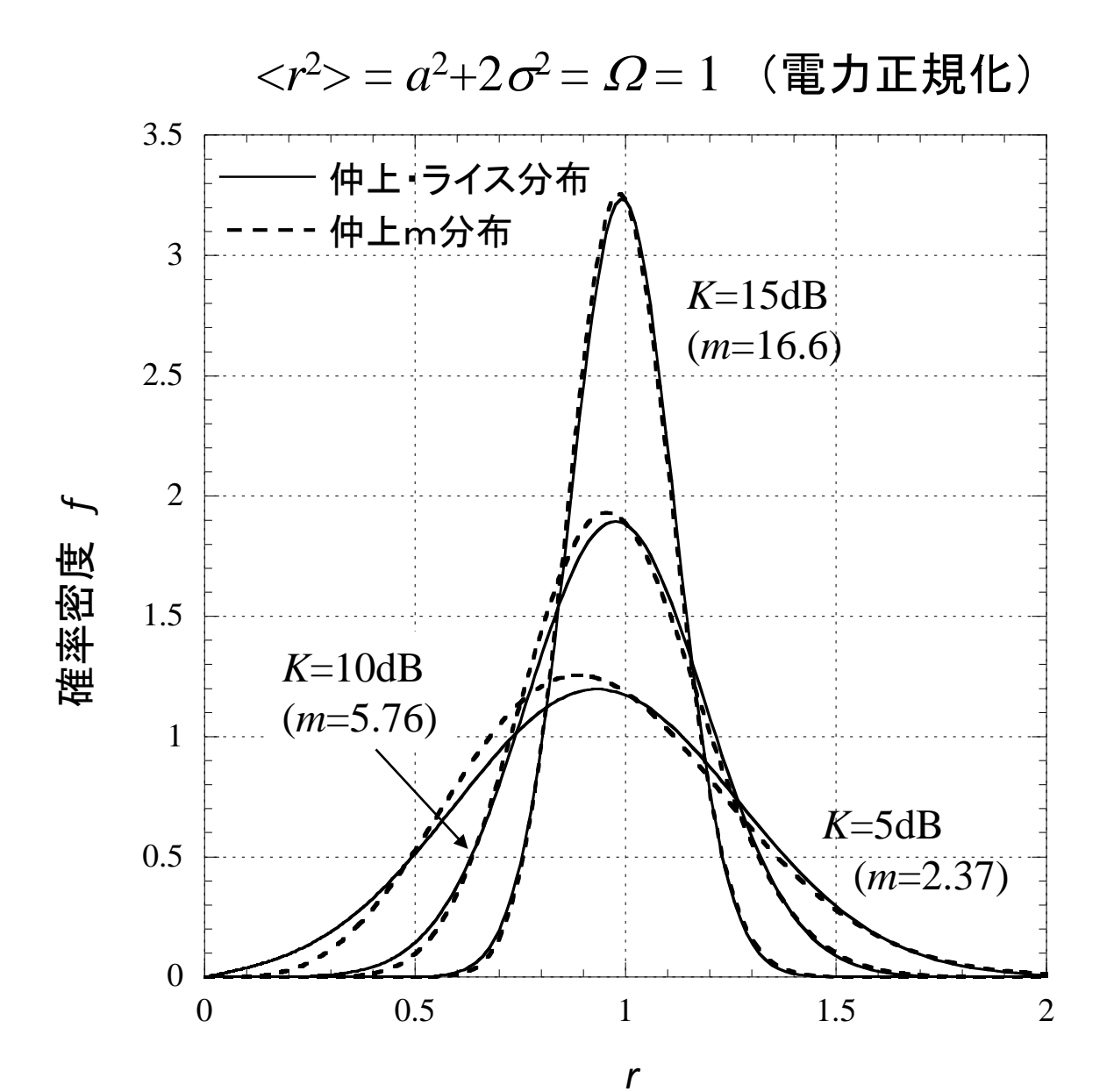


式の形(見かけの複雑さに騙されないように)
$$f(r) \propto r^{2m-1} \exp \left(-\frac{m}{\Omega} r^2\right) \quad \stackrel{(m=1 \text{ Toully of m=0.5} \text{ Toully of m=0$$

仲上・ライス分布と分布の形が近い(近似関係にある)。

他と組み合わせての利用する場合に、仲上・ライス分布よりは、解析性に優れている。

仲上・ライス分布と仲上m分布の近似関係: PDFで見る



パラメータ: *m とK* の換算

$$m(\geq 1) = \frac{(K+1)^2}{2K+1}$$
$$K = \sqrt{m^2 - m} + m - 1$$

全体的に見ると 良い近似関係

他の関数と組み合わせて使うとき、解析性が良いので、仲上・ライス分布の代わりにm分布が使われることもある

仲上m分布:その本質は?

測定データから経験的に見つけた分布なので、物理的意味を見出すのに苦労する時期が続いた

その後に見えてきた分布の本質

正規分布(平均值0) 確率変数 X, X_i (i.i.d.) ($i=1, 2, \dots, M$)

(多次元正規分布の振幅、ランダムウォーク、スペースダイバーシチに現れる)

この理論的基本分布が、数学者から生まれず、電波技術者から生まれたところに歴史の面白さを感じる 32

第2部 統計的推定

「近年、雨の降り方は変わってきたか」について、調べてみよう

強い雨は、ミリ波など10GHz以上の高い周波数の電波を弱くしてしま うので、無線通信においても無関心ではいられない問題

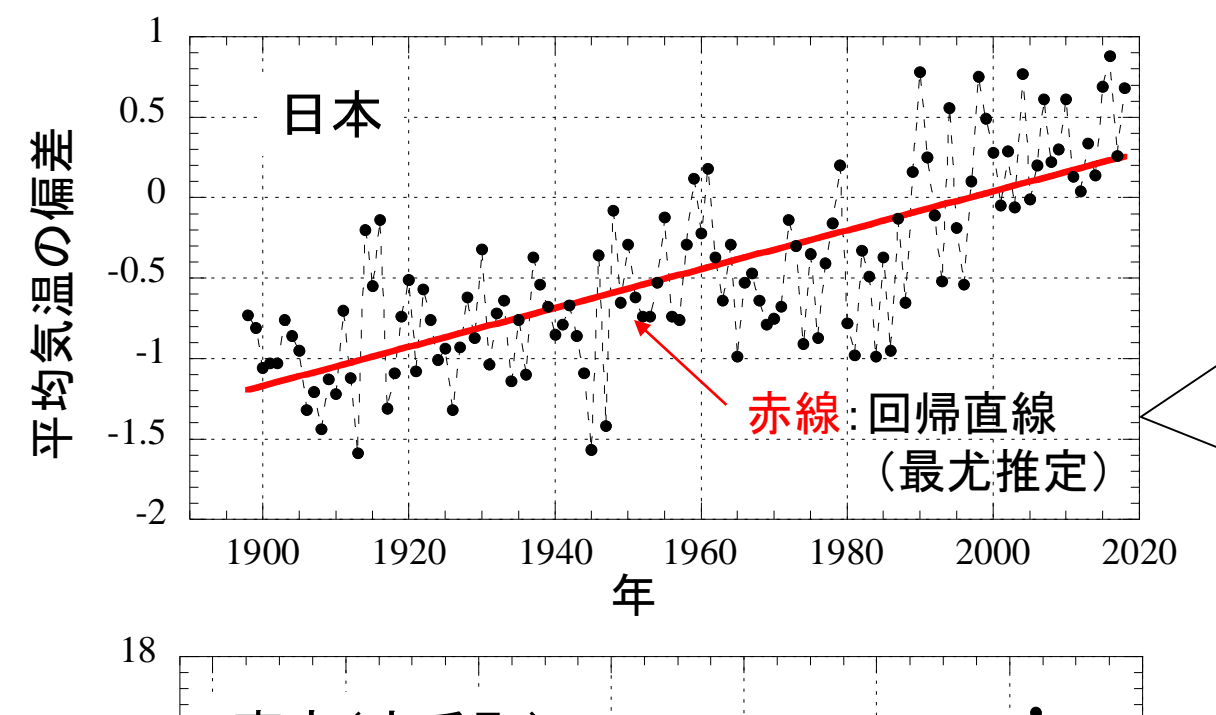
地球温暖化により、地球規模でも日本においても この100年、徐々に気温が上昇している

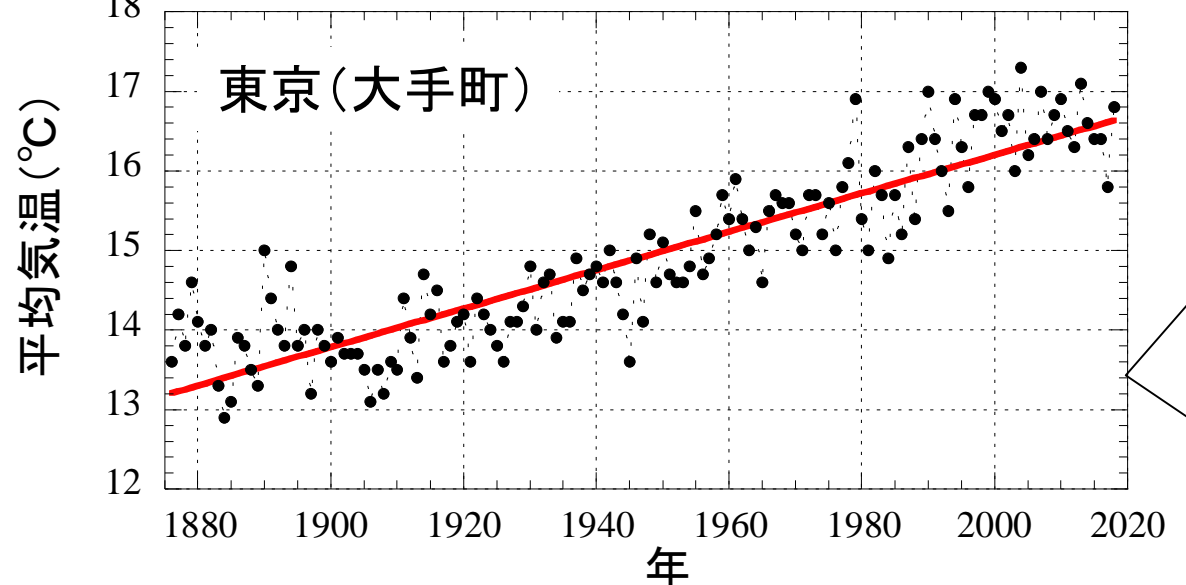
では、雨の降り方にも地球温暖化の影響が現れているのだろうか?

近年、異常気象、未曾有の豪雨と言う言葉をよく聞くようになっている。 本当に雨の降り方は変わってきているのだろうか

気象庁が公開している日本各地の降雨データを統計的に見てみよう

地球温暖化問題:それは確実にある





世界(地上+海上) 0.73℃/100年

日本: 都市化による影響 が比較的小さい15地点の 平均

1.21°C/100年

東京(大手町にある東京管区気象台エリア)は都市化率(92.9%)、気温の上昇率ともに、日本の都市の中で最大であり、ヒートアイランド現象が最も強く現れているエリア

約 3℃/100年

気温は、確実に年々上昇しつつある(地球温暖化)

では、雨の降り方も変わってきているのだろうか?

気温が上がると大気中に含まれる水蒸気量の最大値(飽和水蒸気量)も増えるので、潜在的な意味で、大雨になる可能性は高まる

でも、結論を出すには微妙かつ難しい問題

これを統計によって調べてみよう

日本各地での強い雨の降り方の長期的な変化を調べる

日降水量(1日の降水量)の年間最大値

→ 大きくなると、豪雨災害をもたらす

時間降水量(1時間の降水量)の年間最大値

→ 大きくなると、電波の減衰(強度低下)をもたらす

利用する統計的手法

- ① 回帰直線と区間推定: 間違った結論を出さないために
- ② 赤池情報量基準(AIC): より良いモデルを見出すために
- ③ 極値統計: 想定外の出来事を想定外としないために

どれも、数学的に奥の深い理論なので、ここでは、働きを知ることにとどめ、その手法が使いたいときには、最後に紹介するテキストで学んでほしい

この解析に用いた降水量データ(気象庁のHPより)

日本各地の降水量年間最大値

日降水量 45地点 100年間 (1924 - 2023)

45地点 130年間 (1894 - 2023)

時間降水量 45地点 80年間 (1944 - 2023)

降水量の年間最大値は全て降雨によるものなので 降雨量と読み替えられる



08

日本の気象観測地点(約1300地点) (観測データは気象庁の ホームページから公開)

(1976年以降は主にAMeDAS)



73.2

1/107/2

101/16

3/17

年ごとの値

1.907

-背表 主な要素 詳細(気圧·降水量) 詳細(気温·蒸気圧·湿度) 詳細(風) 詳細(日照・雪・その他) 地点 降水量(最大) 東京 年ごとの値 主な要素 気圧(hPa) 降水量(mm) 気温(℃) 湿度(%) 現地 平均 最 年 海面 最大 平均 合計 最低 最高 平均 1時間 平均 平均 風速 風速 H 10分間 日平均 日最高 日最低 最小 17.0] 21.9] 12.2 35.1 -3.6] 1875 1219.2 94.0] 1876 10147 1755.5 76.2 13.6 18.7 8.3 35.6 -92 78 1877 1015.2 1317.3 79.9 14.2 19.1 8.9 34.9 -4.877 1878 18.3 35.1 -7.679 1015.2 1764.2 150.9 13.8 96 1879 1014.5 -5.51492.7 99.8 194 33.9 77 14.6 10.0 1000 1685.7 116.7 1015.0 14.1 19.2 9.1 33.2 -6.876 1881 1015.1 1444.4 13.8 18.8 34.2 -84 78 86.4 85 1882 1478.3 109.7 10152 186 342 -6.377 140 9.0 1883 17.8 32.8 1552.6 125.6 13.3 -7.876 1015.0 9.1 14.9 -7.776 1884 1314.8 72.2 12.9 17.7 8.6 33.3 1885 1531.7 149.5 17.5 31.8 -9.177 13.1 9.1 187 1886 9.9 36.6 -7.775 13.9 「年」をクリックすると「月」が出る 1887 13.8 18.6 -7.99.7 32.6 76 75 13.5 18.5 9.3 32.8 -7.51888 「月」をクリックすると「日」が出る 1889 13.3 18.0 93 33.3 -8.1 74 「日」をクリックすると「時間」が出る 1890 15.0 19.4 11.0 33.9 -5.877 (ビッグデータ、日本の宝) 1891 14.4 19.3 10.0 34.4 -6.772 1892 73 14.0 18.6 10.0 34.4 -6.81161.3 28.1 1893 188 34.4 -7271 1014.0 56.3 138 9.4 52.9] 35.1 -5.373 1894 1320.8 132.8 14.8 19.6 1014.4 10.6 1895 1397.8 133.0 22.6] 18.7 -5.71013.8 13.8 9.8 33.0 74 1896 1373.9 22.2 18.7 34.3 -5.674 10144 74.0 140 101

177

92

34.0

-70

75

132

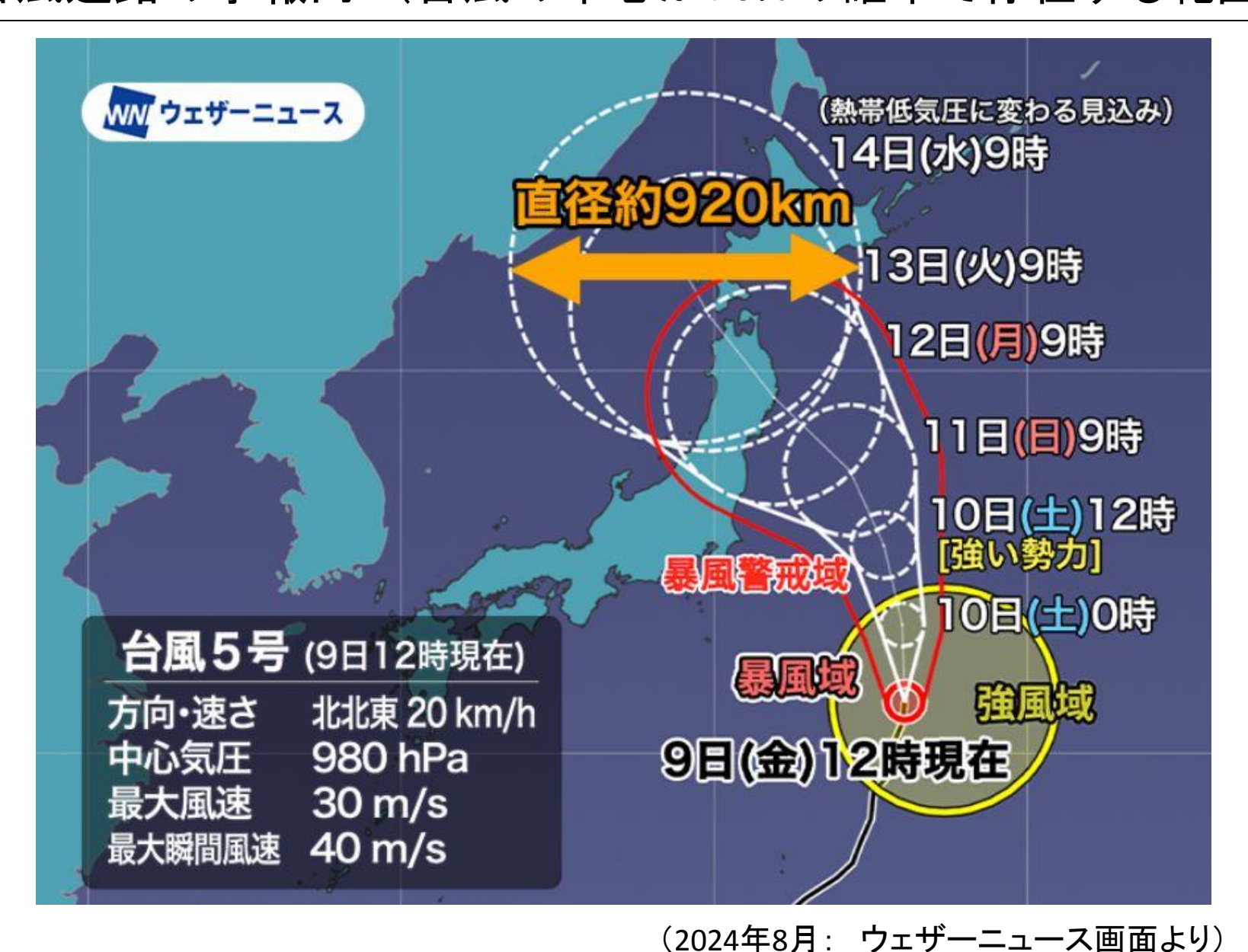
点推定と区間推定

点推定:最も確からしい値を推定する

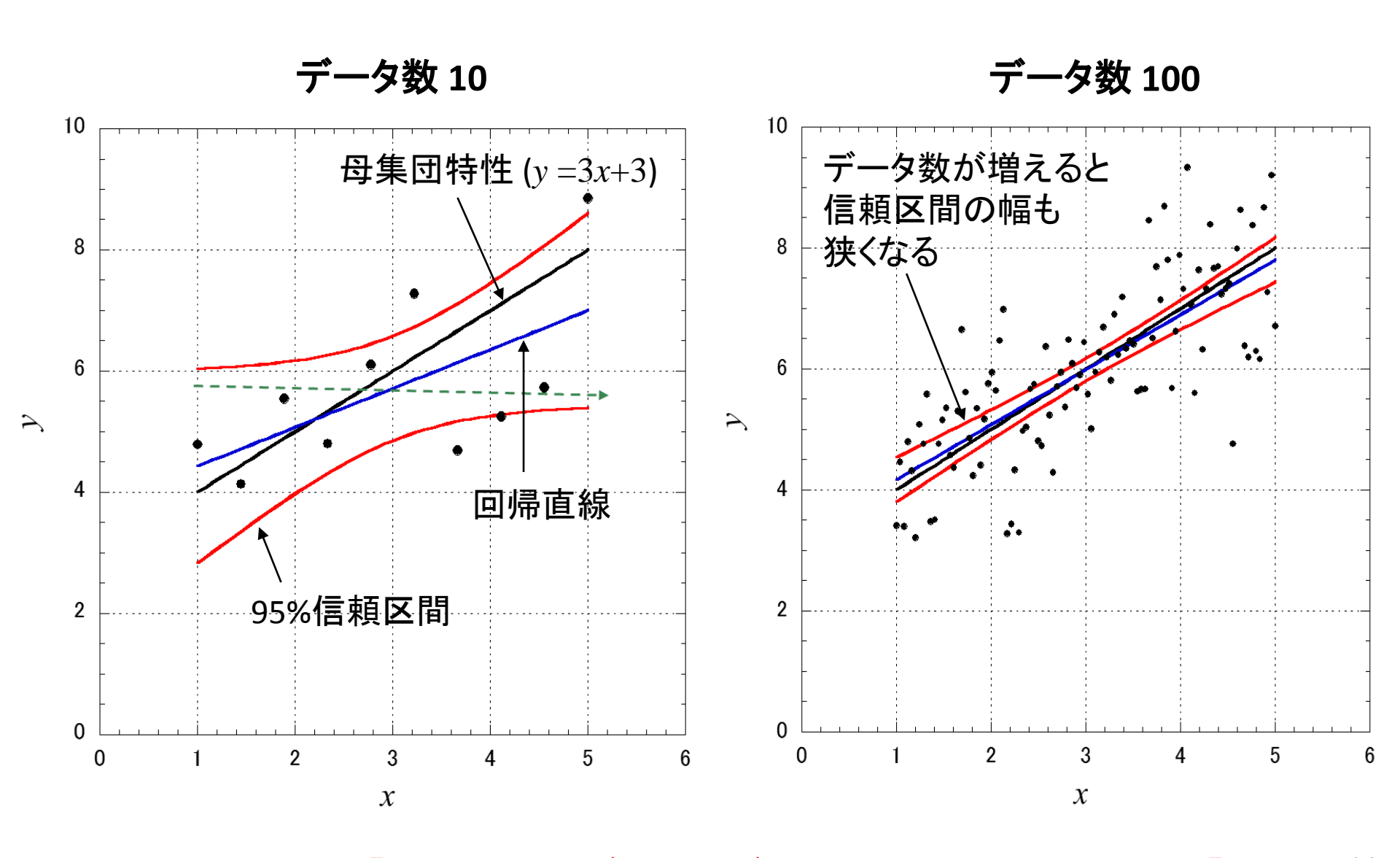
そのようにして得られた結果(例えば、回帰直線)は、最も確からしいのであるが、それが真に正しいかどうかは分からない

区間推定: 真値が存在する可能性(確率)を幅で推定し、 その幅内を信頼区間とする推定 (確率設定の代表値は95%が多い) 誤った判断をしないための用心深い考え方

点推定と区間推定の例 台風進路の予報円 (台風の中心が70%の確率で存在する範囲)

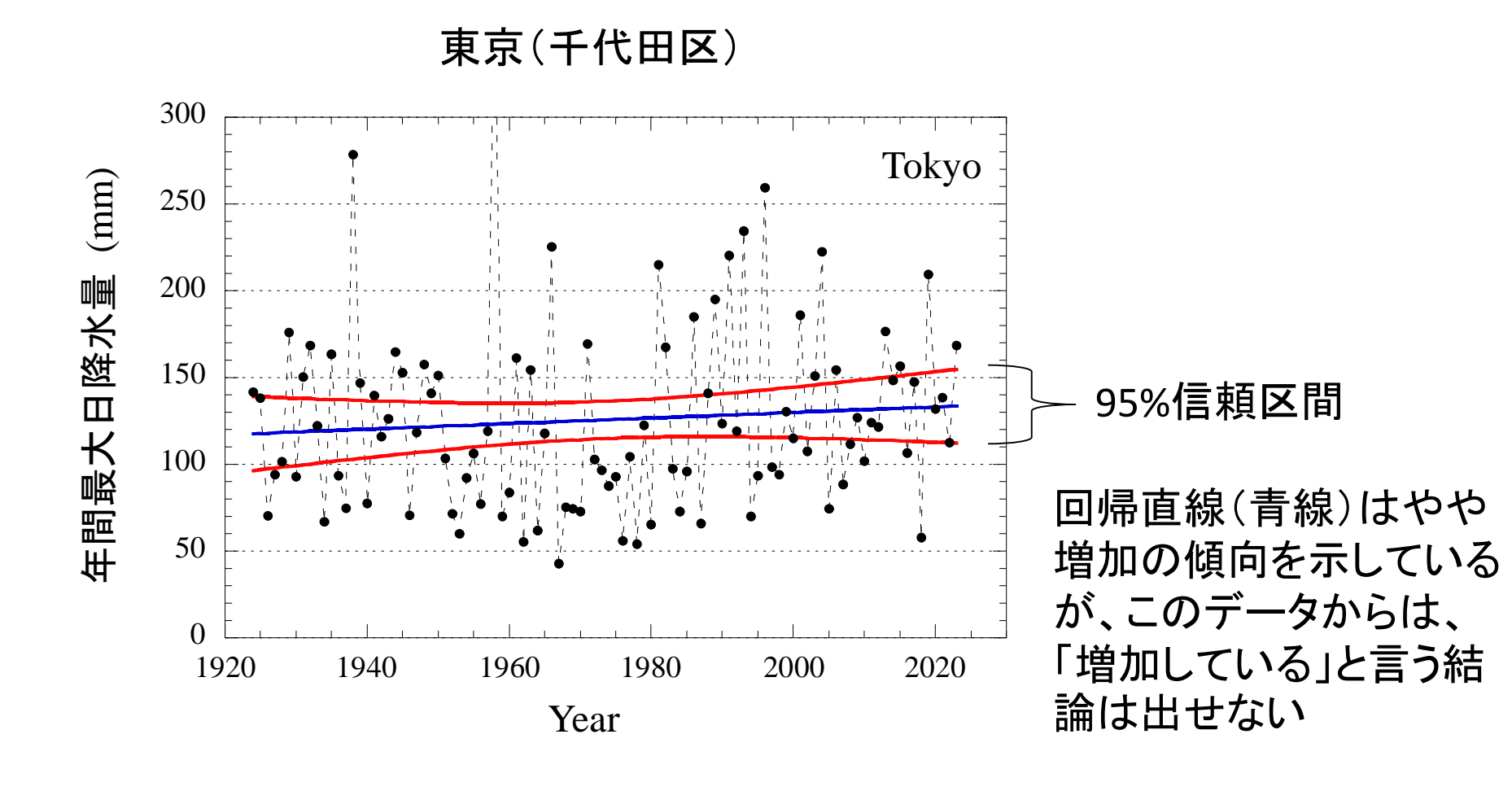


解析の道具: 直線回帰と信頼区間



【信頼区間はデータのばらつき幅とはまったく違う!!】

地点別年間最大日降水量の100年間の推移



この例だけでなく、他の例(地点や降水量タイプ)を含めて、 地点毎の100年間データからは、有意な長期変化傾向があるとは言えない

日本全体のデータで傾向を俯瞰的に見る

長期変化傾向を見るのに地点毎のデータではデータ数が足りない



それぞれの地点のデータをその地点の平均値で割って正規化する(平均値を1とする年間最大正規化降水量を用いる)

$$R_{\max, i} \rightarrow = R_{\max, i} / < R_{\max} >$$



それらの全体のデータで、回帰直線と信頼区間を求める

日降水量 日本全国45地点の100年間分のデータ(データ点数:4500) 3.5 1.05 2.5 正規化降水量 1.5 0.95 0.5

回帰直線(最尤推定): 100年間で14%の増加 区間推定(95%信頼区間): 9%~20%の増加の範囲 → 増加傾向が有意

2020

1920

1940

1960

1980

年

2000

1920

1940

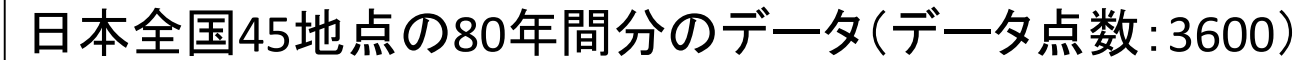
1980

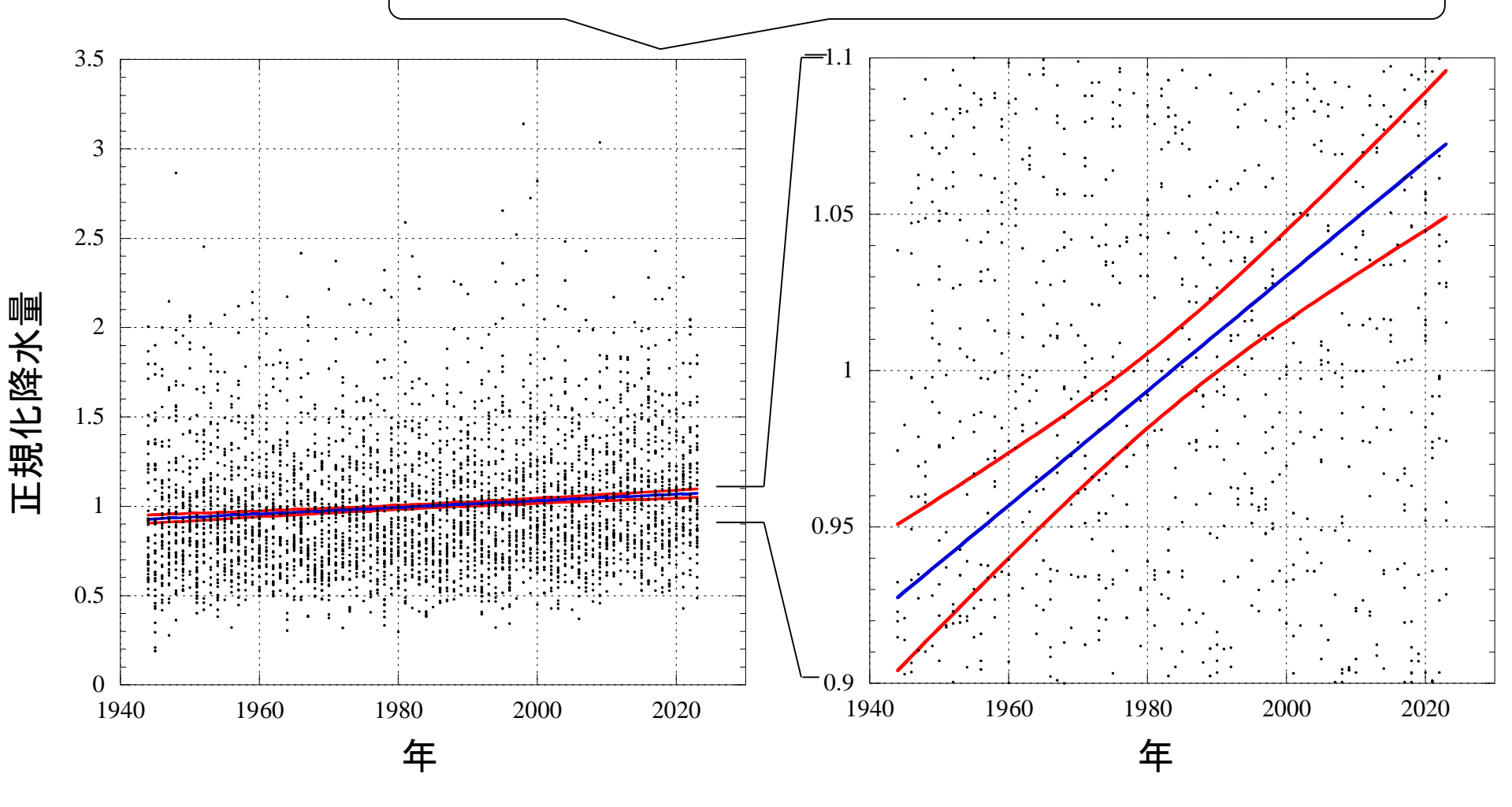
1960

2000

2020

1時間降水量





回帰直線(最尤推定): 80年間で16%の増加 区間推定(95%信頼区間): 10%~21%の増加の範囲 → 増加傾向が有意 長期的変化の傾向を、より詳細に分かる回帰曲線で見たい どのような曲線を選ぶのが良いのだろうか?

例えば、多項式近似による最尤推定

$$y = a_0 + a_1 x + a_2 x^2 + \dots + a_K x^K$$

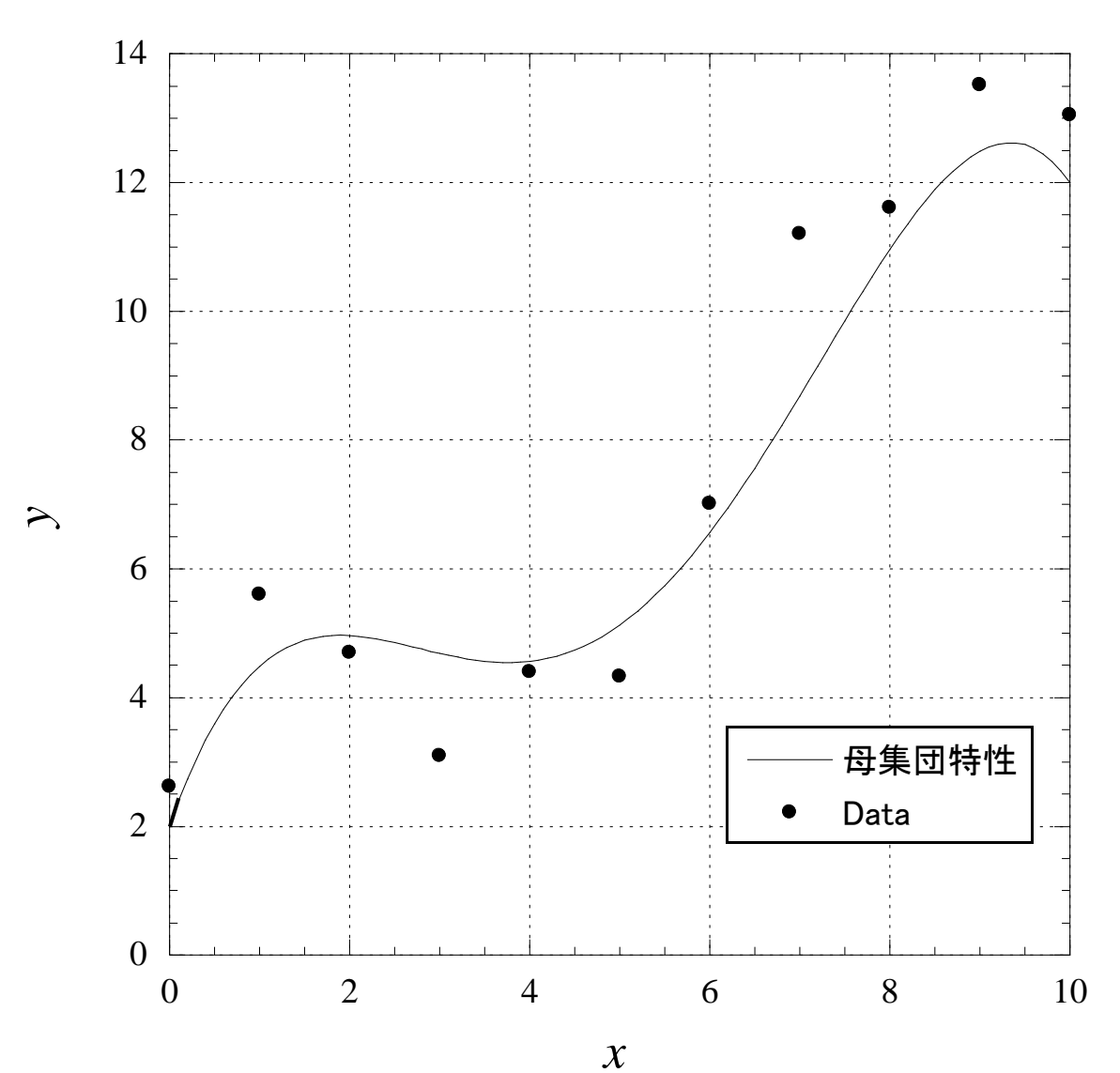
多項式の次数Kを大きくすれば、推定式とデータの一致度(=尤度)は高くなるが、 次数の高い式を選べば良いのだろうか? 次数を上げすぎると、標本データに支配されて、他の独立なデータに合わなくなる

次数の選択には、最適値がある。

その選択基準として、赤池情報量基準(AIC: Akaike Information Criterion)がある

これを使ってみよう

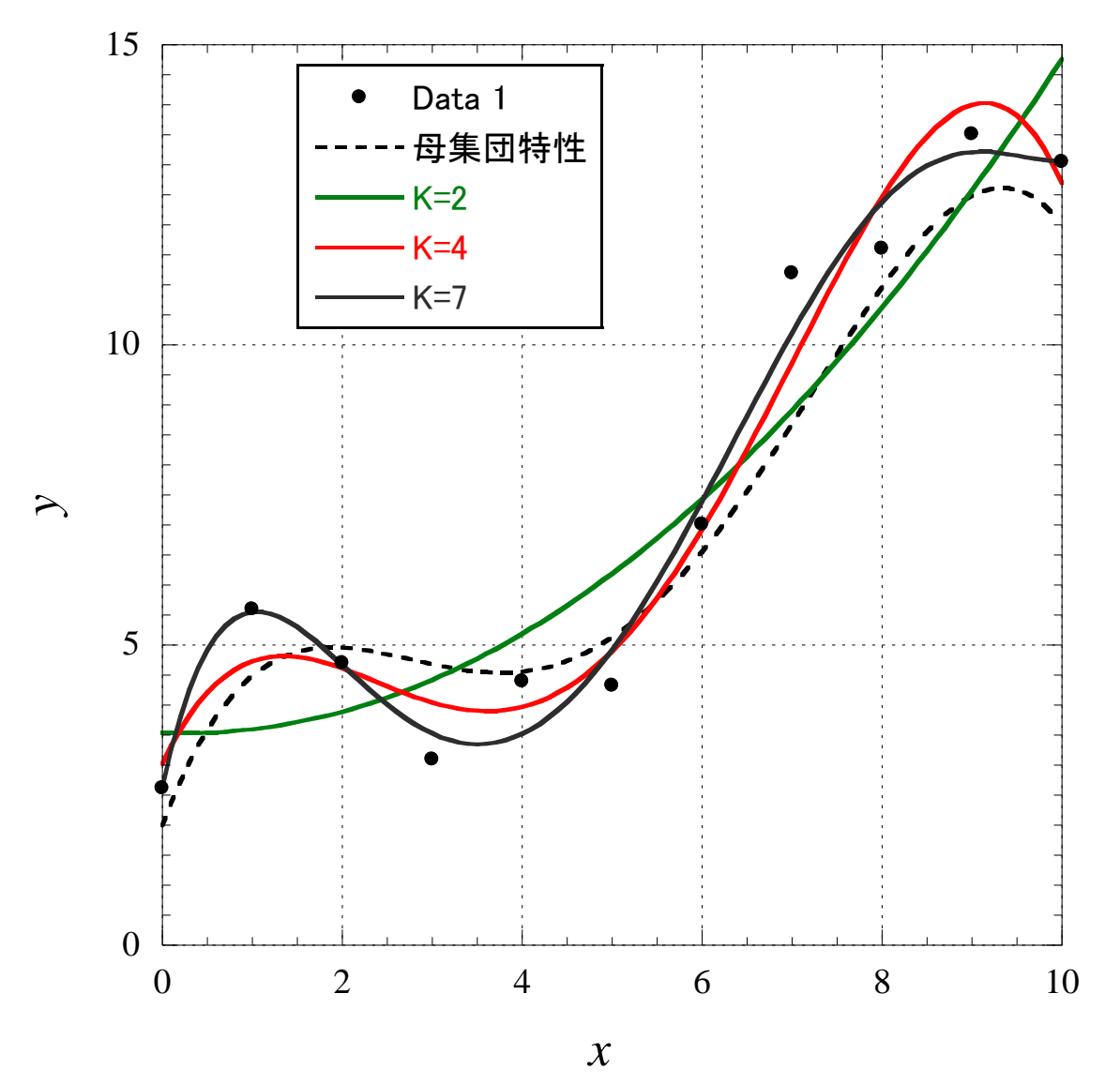
なぜ、高い次数の最尤推定では駄目なのか?



手元には、 誤差を含んだデータしかなく、 母集団の特性を知らない

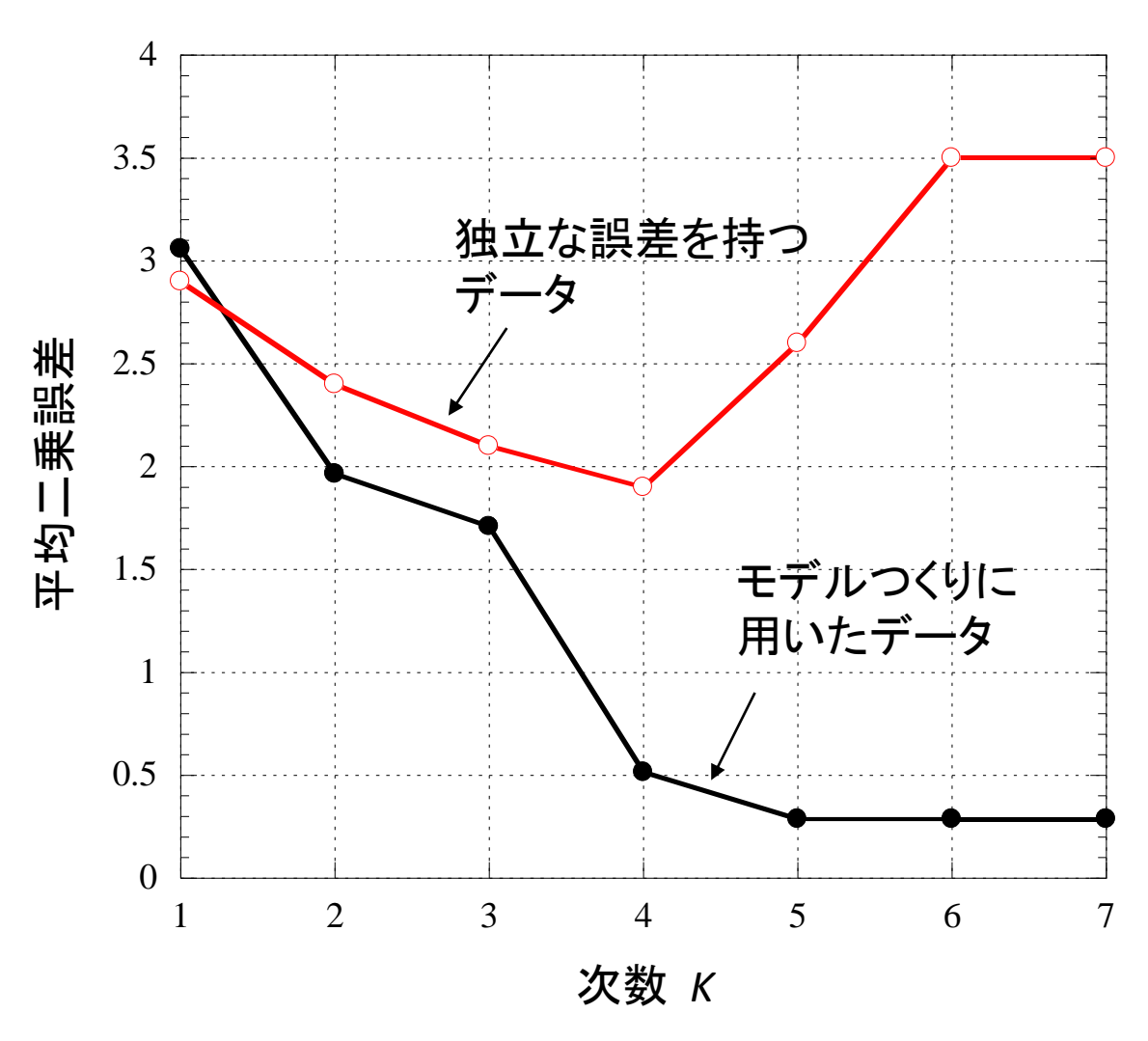
このデータから、母集団の 特性を推定してみよう

なぜ、高い次数の最尤推定では駄目なのか?



次数を上げてゆけば、 推定式との誤差は どんどん小さくなる

なぜ、高い次数の最尤推定では駄目なのか?



次数が高くなりすぎると、 独立な誤差を持つデータに 対して、逆に一致度が落ち てくる



推定に際して、どこかに 最適な次数がある

それを見つけるには どうしたら良いか

最適なモデルを選ぶ指標:赤池情報量基準(AIC)

標本データから、母集団を推定する良いモデルを選ぶ判断基準 赤池弘次博士((元)統計数理研究所:1971年考案)

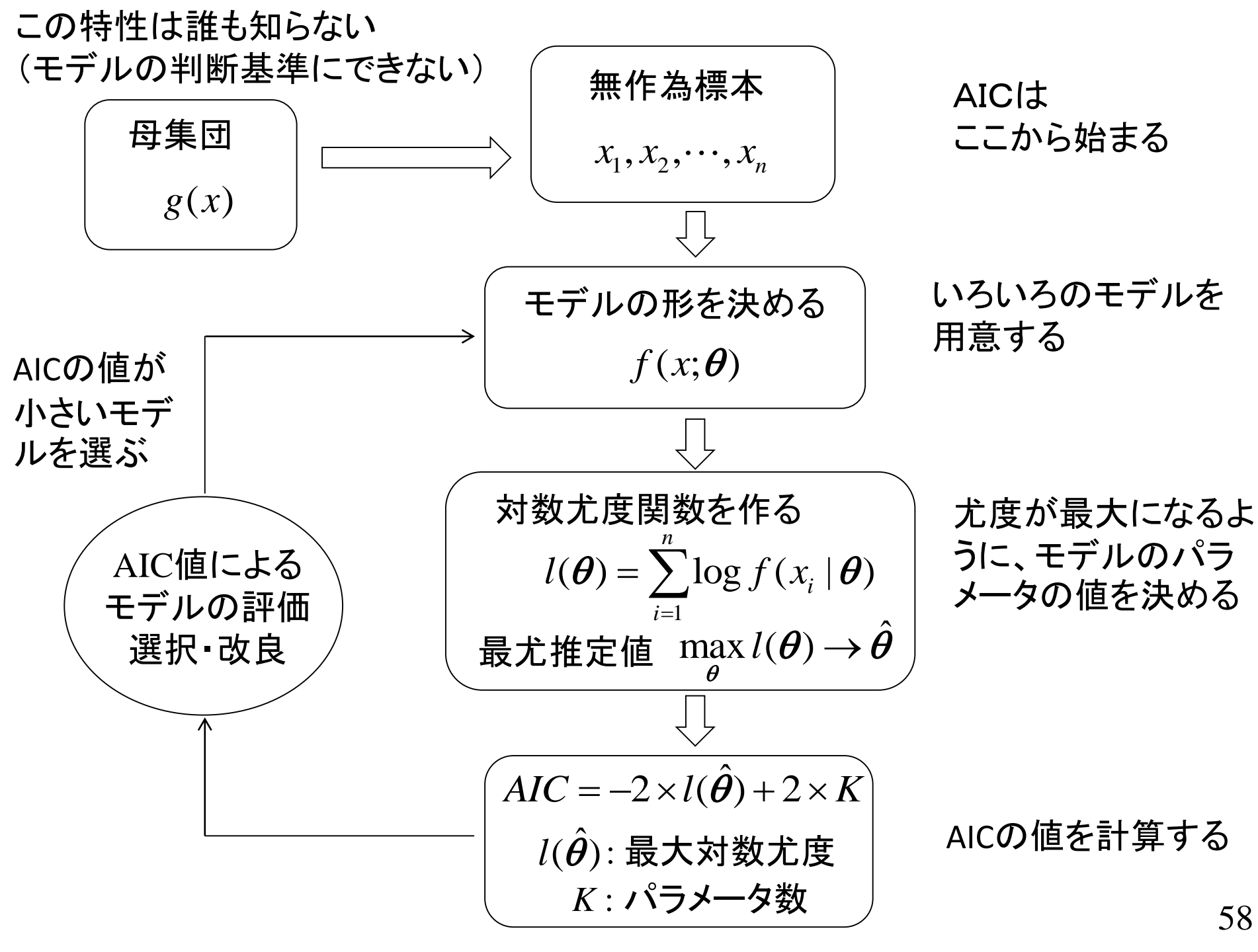
良いモデルとは

- 1) モデル(推定式)と標本値の差が小さい(データによく合う)
- 2) モデルのパラメータの数が少ない

AIC= (-2)(最大対数尤度)+2(パラメータ数)

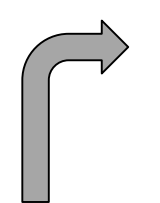
AICの値が小さいほど良いモデル

最大対数尤度とパラメータ数が同じ次元になっているのが奇跡 この基準は今でも現役で、広く使われている 理論は難しいが、確率・統計知識の宝庫



AIC (Akaike Information Criterion: 赤池情報量規準)

AICにおけるモデルの選択基準



$AIC = -2 \times (最大対数尤度) + 2 \times (パラメータの数)$

の式において、最も値が小さくなるモデルを選ぶ

多項式近似のモデル化(誤差が正規分布する)

$$y_i = a_0 + a_1 x_i + a_2 x_i^2 + \dots + a_K x_i^K + b_i$$
 $(f_b = N(0, \sigma^2))$ (パラメータ数: K+2)

正規分布の対数尤度関数

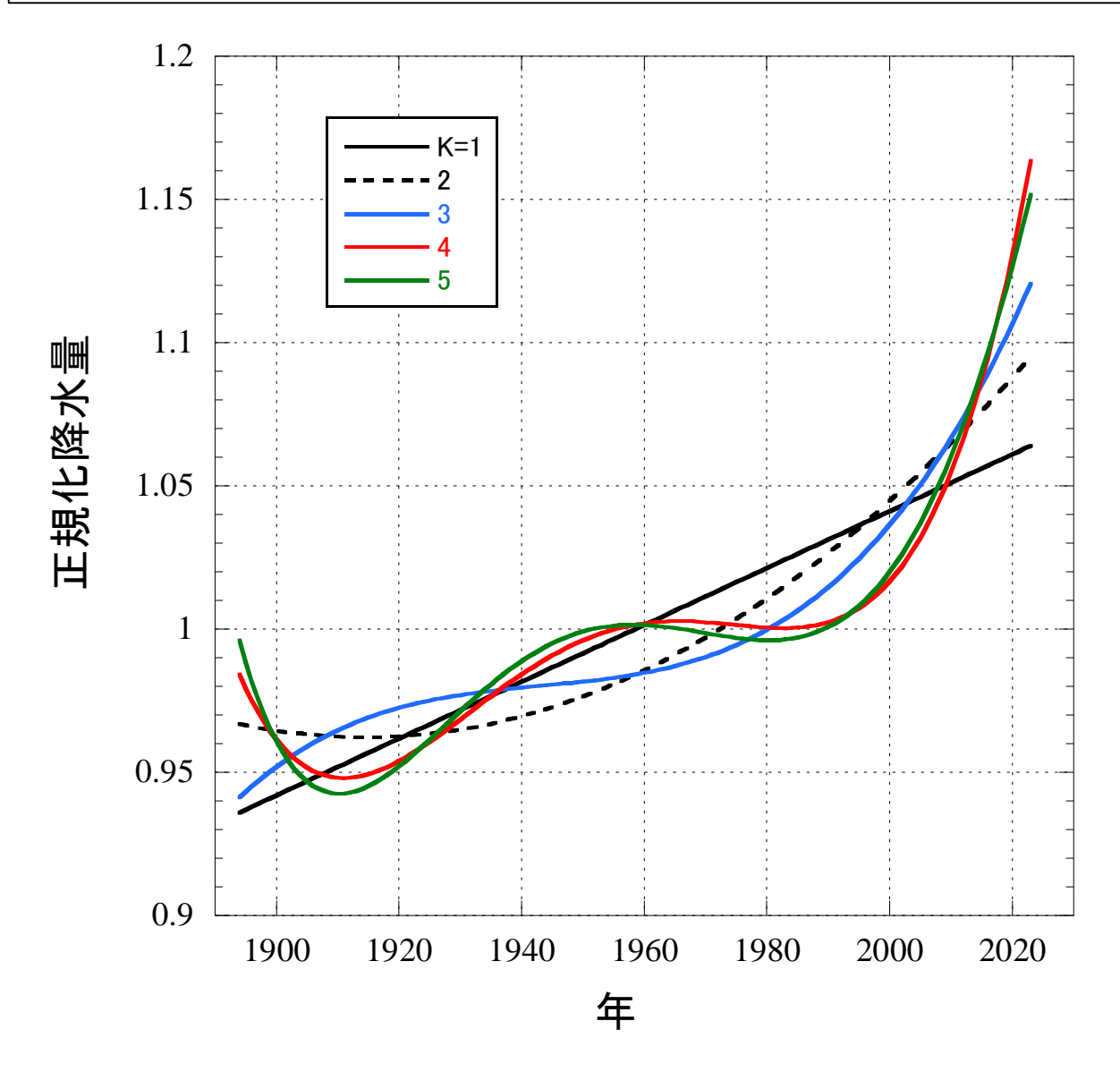
$$l(\boldsymbol{\theta}) = -\frac{n}{2} \log(2\pi\sigma^2) - \frac{1}{2\sigma^2} \sum_{i=1}^{n} \left(y_i - \sum_{k=0}^{K} a_k x_i^k \right)^2 \qquad \boldsymbol{\theta} = \left(a_0, a_1, a_2, \dots, a_K, \sigma^2 \right)$$

係数と誤差分散の最尤推定 $\frac{\partial}{\partial a_i} \sum_{i=1}^n \left(y_i - \sum_{k=0}^K a_k x_i^k \right)^2 = 0 \implies \hat{a}_0 \sim \hat{a}_K$

$$\frac{\partial l\left(\boldsymbol{\theta}(\hat{a}_0,\dots,\hat{a}_K,\sigma^2)\right)}{\partial \sigma^2} = 0 \implies \hat{\sigma}^2 = \frac{1}{n} \sum_{i=1}^n \left(y_i - \sum_{k=0}^K \hat{a}_k x_i^k\right)^2$$

最大対数尤度
$$l(\hat{\boldsymbol{\theta}}) = -\frac{n}{2}\log(2\pi\hat{\sigma}^2) - \frac{n}{2}$$

日最大降水量130年間データ(多項式最尤推定)



どの次数のカーブを選んだら良いか?

多項式近似における最大対数尤度とAIC評価値

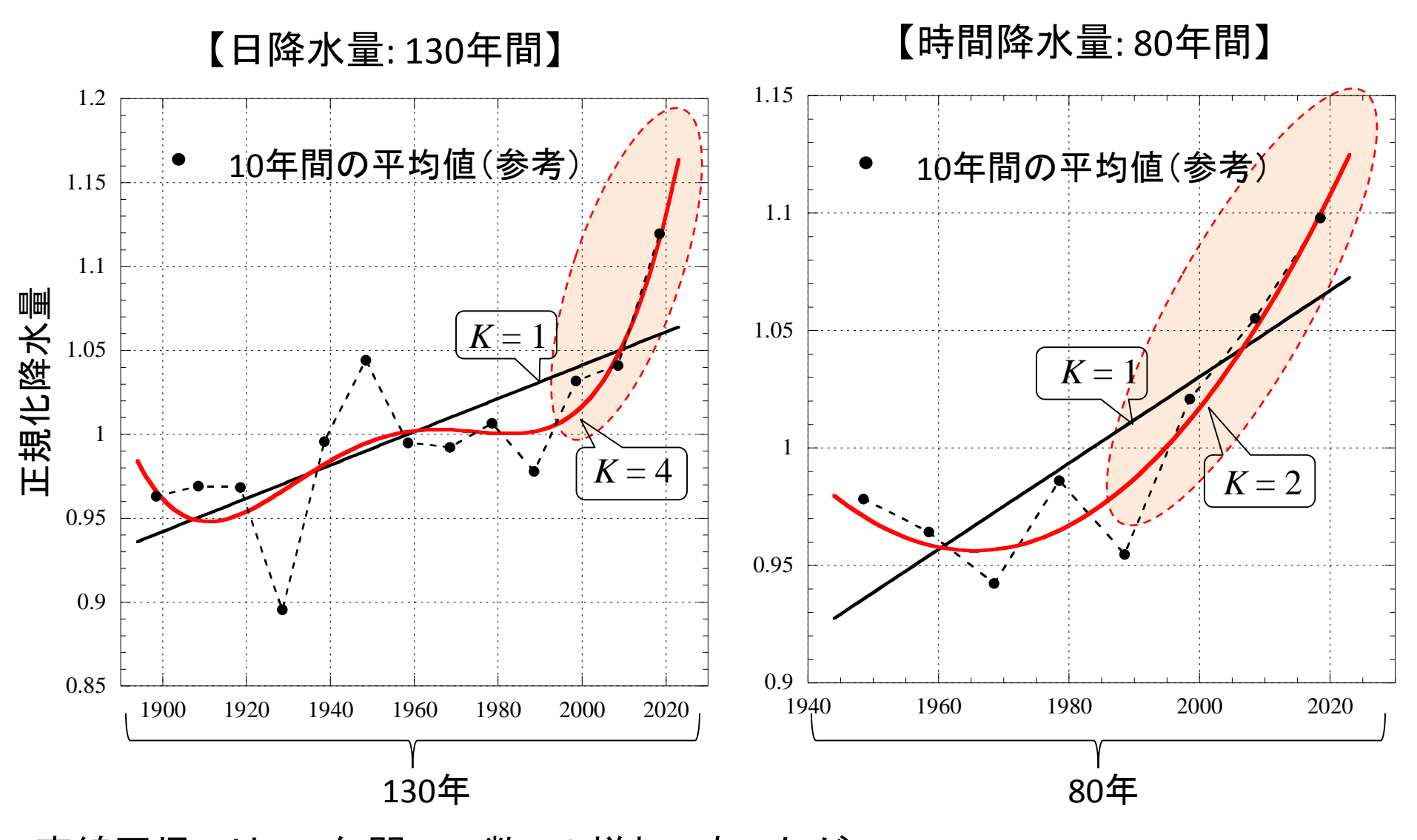
回帰曲線式
$$y_i = a_0 + a_1 x_i + a_2 x_i^2 + \dots + a_K x_i^K + b_i$$
 $\left(f_b = N(0, \sigma^2)\right)$ (パラメータ数: K+2)

Rainfall	K	$\hat{\sigma}^2$	$l(\hat{ heta}^2)$	AIC	$\triangle AIC$
1-day	1	0.16165	-2284.99	4575.99	25.03
	2	0.16160	-2284.29	4576.58	25.63
	3	0.16066	-2271.25	4552.49	1.543
	4	0.16054	-2269.48	4550.95	0
	5	0.16054	-2269.48	4552.95	1.998
1-hour	1	0.13068	-1445.22	2896.44	14.31
	2	0.13009	-1437.07	2882.13	0
	3	0.13009	-1437.02	2884.04	1.913
	4	0.13003	-1436.19	2884.37	2.241
	5	0.13002	-1436.10	2886.20	4.070

日降水量 45箇所 130年間の データ

時間降水量 45箇所 80年間の データ

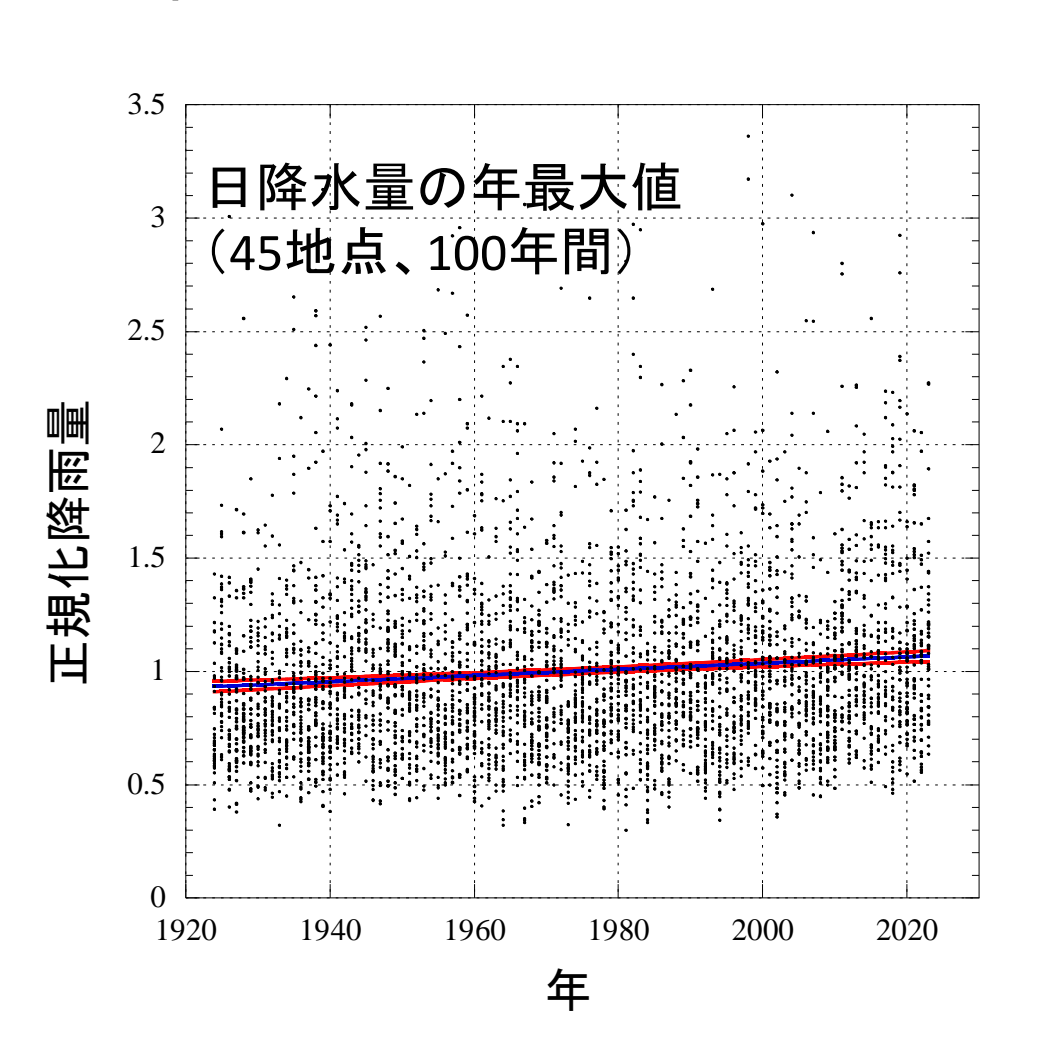
年間最大雨量の長期変化傾向(AICが選んだ最良次数)



直線回帰では100年間で10数%の増加であったが、 回帰曲線推定では、その増加は、1990年以降に顕著になっているように見える

以上の検討により、1980~1990年以降、雨の降り方は変わりつつある (=増加傾向にある)

とは言え



その変化の程度は、年毎のばら つきの大きさに比べれば、十分小 さいので、

過去100年スケールで見れば、雨 の降り方は、定常状態(定常確率 過程)にあると言えるかもしれない

それなら、この状態がこのまま 1000年続くとしたら、1000年に一度 の大雨が予想できるであろうか?

極値統計

想定外の出来事を想定外としないために

例えば、100年に一度、1000年に一度の最悪事態 (ここでは豪雨)がどのくらいかを知りたい

最大値だけを集めたデータから、それを予想する

そのために、最大値の確率分布が分かれば良い

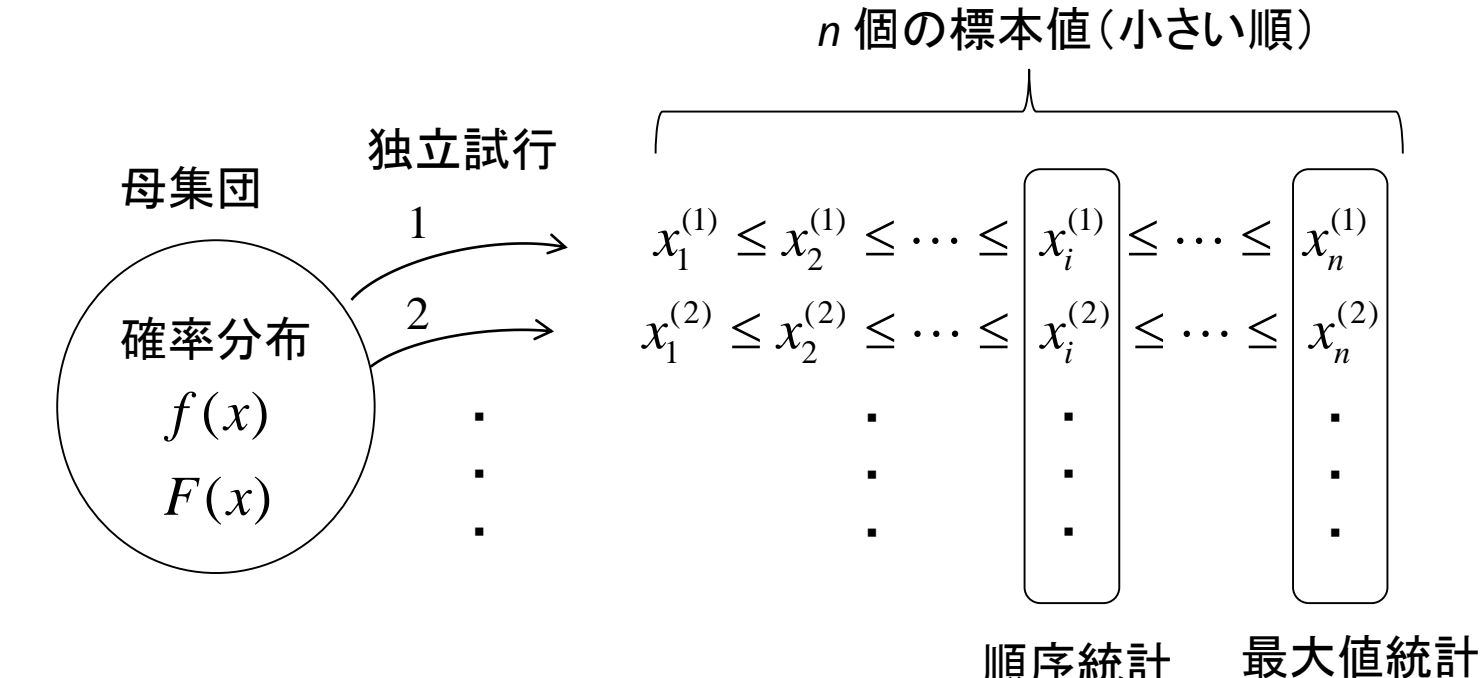
極値統計

極值:最大值

たくさんのメンバーの中の最大値には、 元の分布(=メンバーの分布)によらない最大値特有の 確率分布がある

- → 極値分布
- → 最大値ばかりを集めたデータから、 非常にまれな出来事を予想する

順序統計•最大值統計•極值分布



順序統計 最大値統計
$$f_{(i)}(x) \qquad f_{\max}(x) \qquad n \to \infty \quad 極値分布$$

$$F_{(i)}(x)$$
 $F_{\max}(x)$ \longrightarrow (Gumbel 分布等)

順序i番目の分布と最大値の分布

母集団の確率分布:f:確率密度関数、F:累積分布関数

n 個のサンプル値の小さいほうからi 番目の値の確率分布(順序統計)

$$F_{(i)}(x) = \sum_{k=i}^{n} \binom{n}{k} F^{k}(x) \left\{ 1 - F(x) \right\}^{n-k}$$

$$f_{(i)}(x) = n \binom{n-1}{i-1} F^{i-1}(x) \left\{ 1 - F(x) \right\}^{n-i} f(x)$$

$$\binom{n}{k} \equiv \frac{n!}{k!(n-k)!} \qquad (0 \le k \le n)$$

最大値の分布(i = nより)

$$F_{\text{max}}(x) = F_{(n)}(x) = F^{n}(x)$$
$$f_{\text{max}}(x) = f_{(n)}(x) = nF^{n-1}(x)f(x)$$

元(母集団)の分布形が 与えられれば 具体的な形に記述できる

極値分布(標本数が多いときの最大値に現れる分布)

最大値の累積確率分布

$$F_{\text{max}}(x) = F_{(n)}(x) = F^{(n)}(x)$$

 $n \rightarrow \infty$ の極限において、F の形により、3つの分布系(極値分布)に収斂する

xの値が大きい部分(分布の裾)が指数関数的なものは、Gumbel分布に収斂する。電波伝搬に現れる大部分の分布(正規分布、指数分布、ガンマ分布、ワイブル分布、対数正規分布など)の極値分布はGumbel分布になる

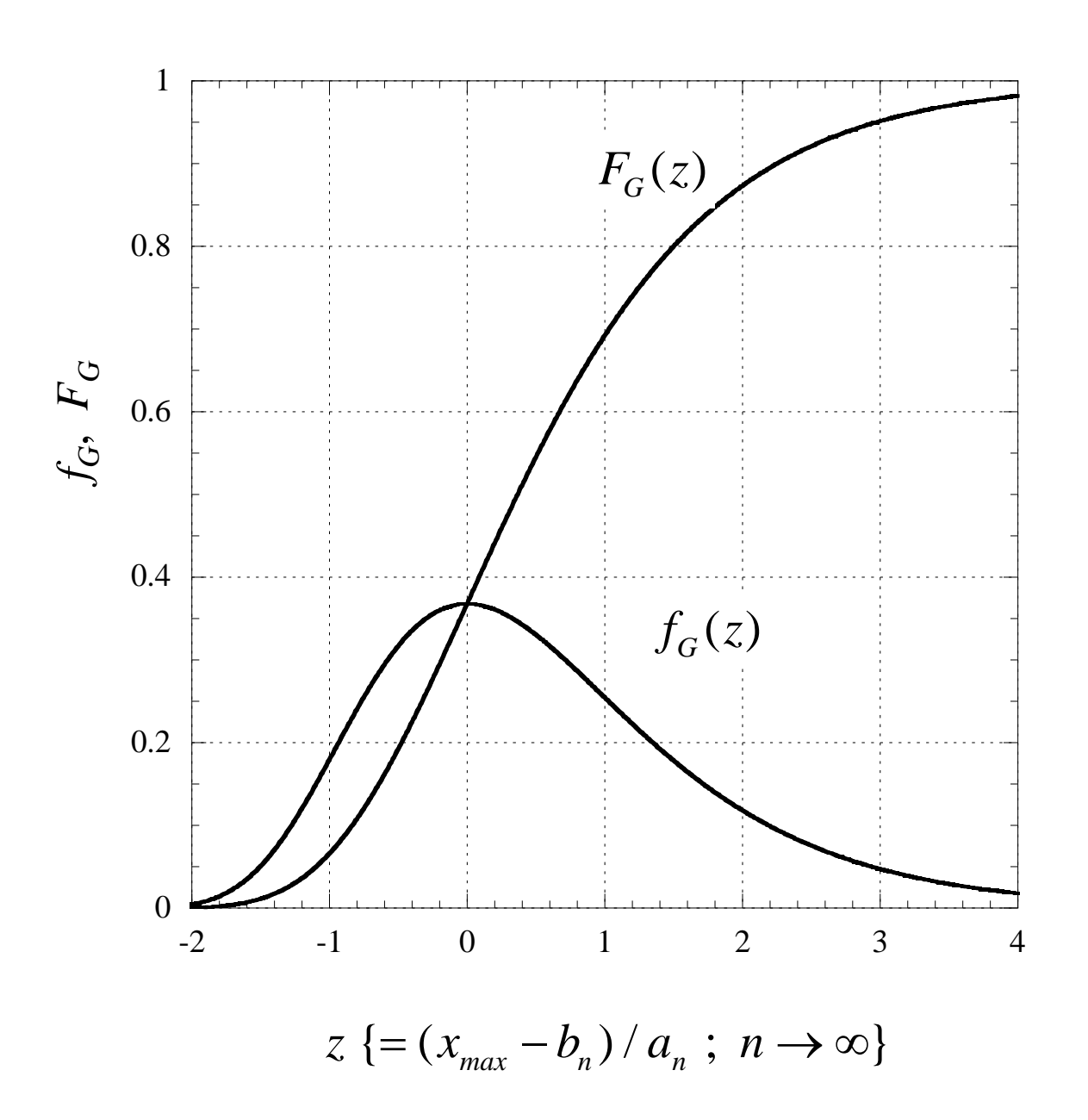
Gumbel分布(グンベル分布)

$$F_G(z) = \exp\{-\exp(-z)\}$$

$$f_G(z) = \exp\{-z - \exp(-z)\}$$

$$z = \frac{x_{\max} - b_n}{a_n}$$
 分布のパラメータ a_n りゅう 吸引係数と呼ばれる

極値分布:グンベル分布の形



N年間に一度の最大値を求める

観測値

各地点のデータをN年ごとに分割してグループを作り、グループ毎の最大値を求めて平均値を出す

例えば、100年間のデータを持つ日降水量に対して、N=50の場合、地点ごとに2個、全部で90個の最大値が得られ、その平均値を求める。

<u>極値分布からの推定</u>

1)全データに対する吸引係数 a_n , b_n を求める

(日降水量:2点整合法;時間降水量と10分間降水量:平均値と分散から)

2)平均値を求める

平均值(数值積分)

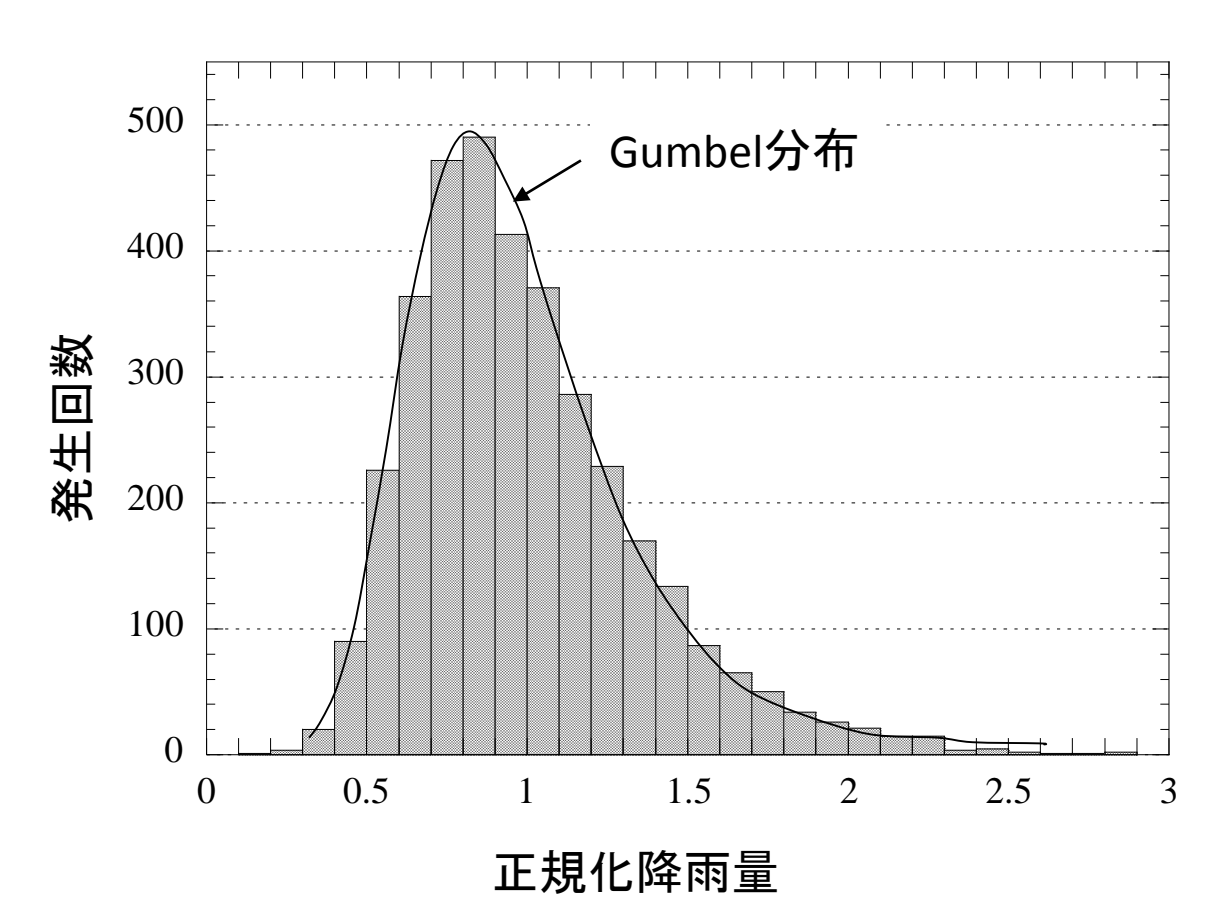
$$\langle x_{\text{max}} \rangle = \int_{-\infty}^{\infty} x f_{\text{max}}(x) dx \implies x_N = \frac{N}{a_n} \int_{0}^{\infty} x \left\{ F_G(z(x)) \right\}^{N-1} f_G(z(x)) dx$$

近似値(閉形式が得られる)

$$x_N \approx F_G^{-1} \left(\frac{N}{N+1} \right) = -a_n \log \left\{ -\log \left(\frac{N}{N+1} \right) \right\} + b_n$$

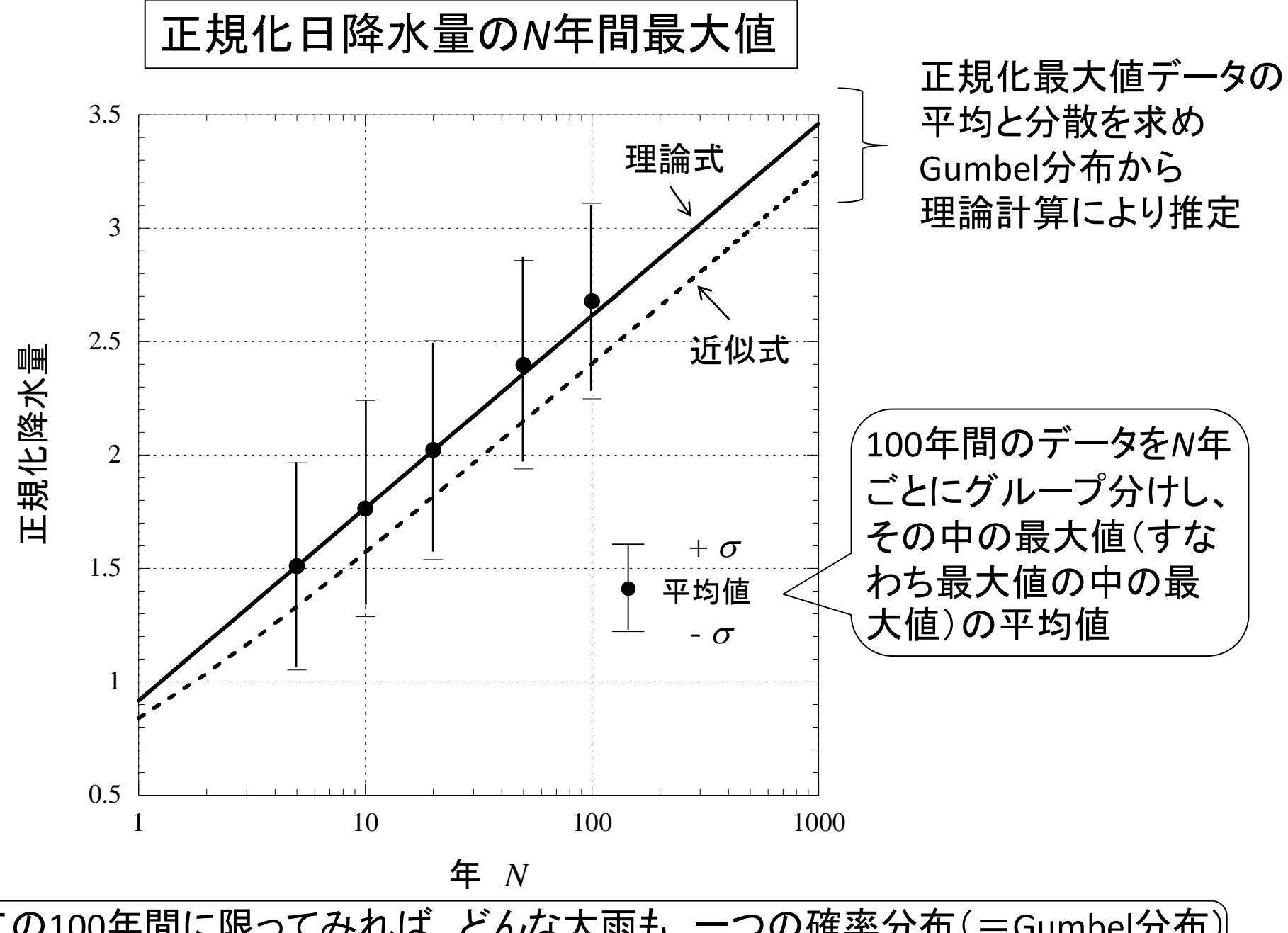
正規化降雨量年間最大値のヒストグラムとGumbel分布でのフィッティング

時間降水量の年間最大値(データ数: 80(年)×45(地点) = 3600)



1時間降水量の年間最大値 であるので、n = 8,760 個の 中の最大値の集まり

年間最大値データの平均と 分散が得られれば、 Gumbel分布は定められる



この100年間に限ってみれば、どんな大雨も、一つの確率分布(=Gumbel分布) に従って起きている=想定外なことは起きていない

1000年に一度の最悪値が予測できるか?

① 手持ちのデータ(時間降水量の例で)

45地点 × 80年間 = 3200(データ数)

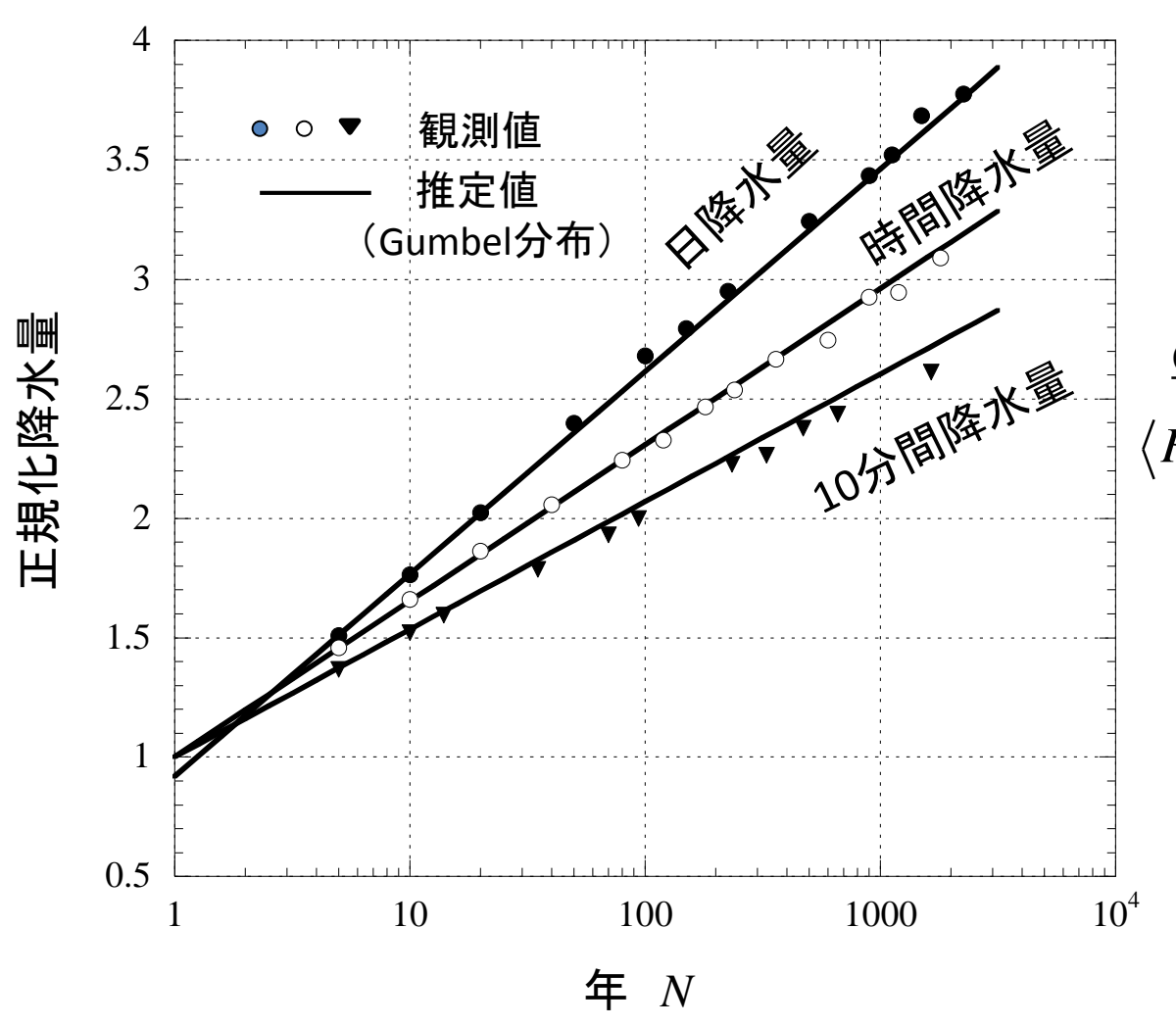
② 定常不規則過程を想定して、全地点データを一列に並べて、3200年間の データとみなす

1地点(仮想) × 3200年間(仮想) = 3200(仮想年数)

- ③ 理論的推定(極値統計)
 - ①から平均と標準偏差を求める
 - → 極値分布(Gumbel分布)から計算によって求める

理論推定の検証: ②と③の結果を比較する

多点正規化雨量をつなげて一点での仮想長期間データとして



日降水量: 4500年分 時間降水量: 3600年分 10分間降水量: 3290年分

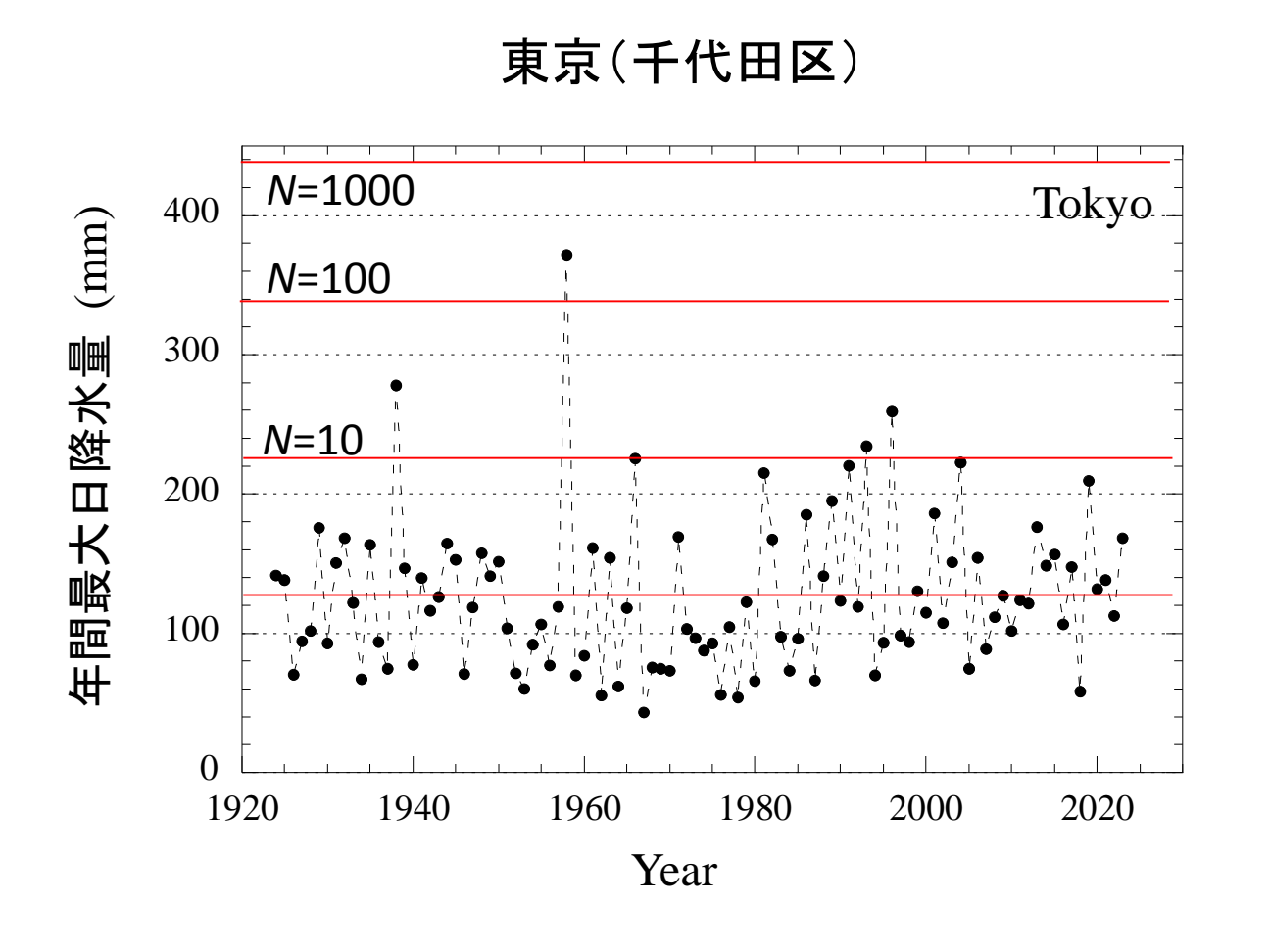
Gumbel分布からの推定式

$$\langle R_{\text{max}}(N) \rangle = (a \log_{10} N + 1) \langle R_{\text{max}}(1) \rangle$$

$$a = \begin{cases} 0.83 & (1-\text{day rainfall}) \\ 0.66 & (1-\text{hour rainfall}) \\ 0.53 & (10-\text{minute rainfall}) \end{cases}$$

過去100年間を定常状態とみなして、<u>これが1000年間続くとしたら</u>、その間の N年間最悪値は、極値分布(Gumbel分布)で精度よく予測できる

東京における年間最大日降水量の100年間の推移と N年間最大値の推定値



100年間平均値 125.7 mm

推定值

N=10 226 mm

N=100 339 mm

N=1000 440 mm

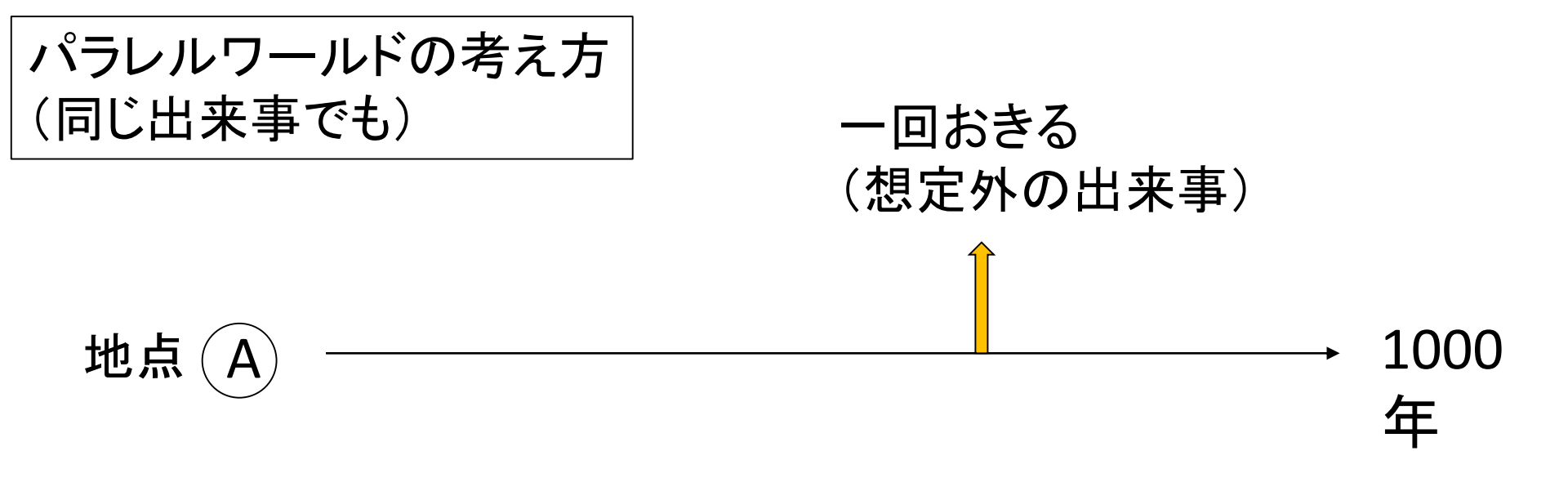
観測値

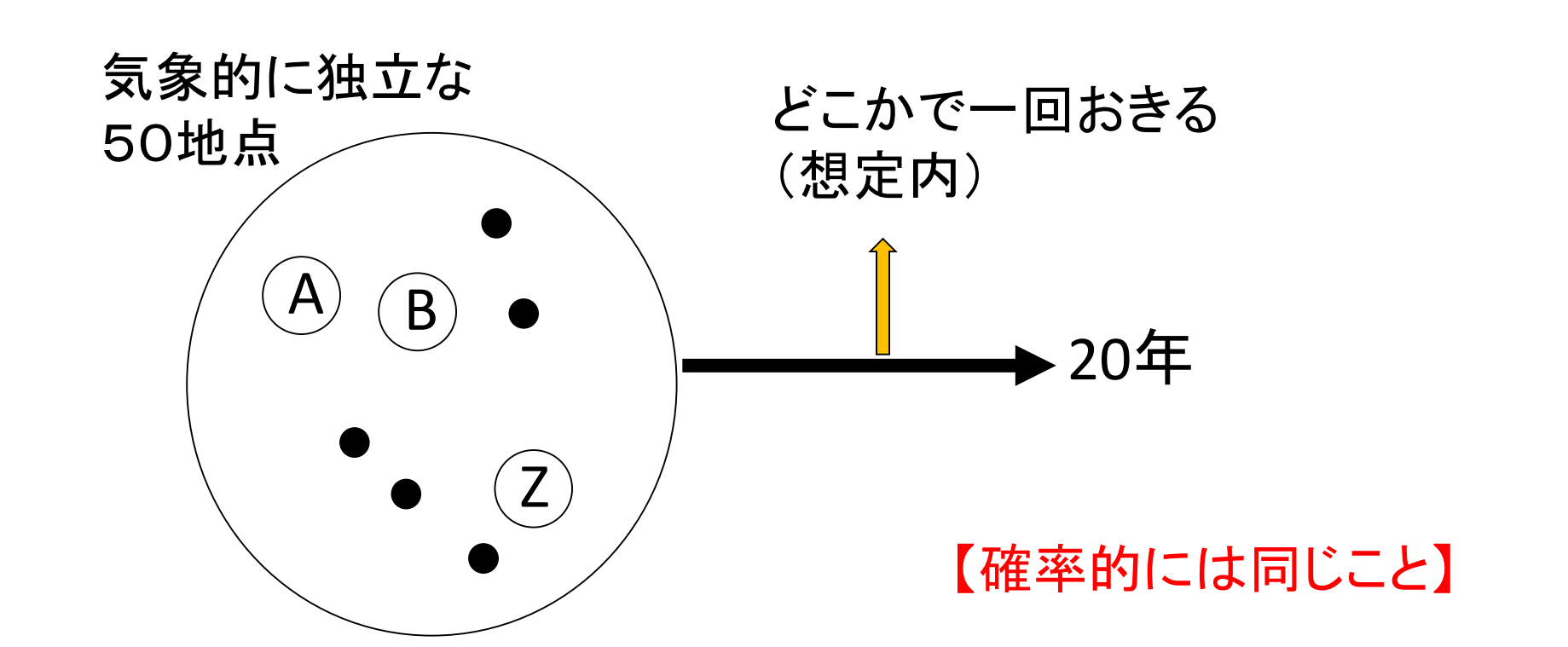
100年間最大

371.9 mm (1958)

2番目

287.3 mm (1938)





第2部:統計的推定のまとめ

- 三つの統計的推定法を取り上げ、無線通信にも関係ある雨の降り方の統計解析に応用した。日本各地(45地点)の日降水量と時間降水量の年間最大値の約100年分について解析した結果
- ① 地球温暖化の時代と言われるが、雨については、地点毎に100年スケールで変化を追ってみても、年毎のばらつきが大きく、変化傾向を読み取ることができない(回帰分析、区間推定)
- ② 日本各地の年間最大降水量をその地の平均値で正規化して、日本全国の データをまとめて解析すると、100年間で十数%の増加傾向が見られ、95%の信 頼区間推定においてもそこ傾向は有意であった(回帰分析、区間推定)
- ③ より詳しい経年変化を調べるために、多項式近似のモデルを用いて評価を行った結果、増加傾向は主に1980~1990年以降に顕著であることが明らかになった(多項式回帰分析、AIC)
- ④ 長期的変化が年毎の変動に比べて十分小さいので、100年単位で見たとき、一つの定常確率過程の出来事と捉えることができる。極値統計を使えば、最大値データから、10年・100年・1000年間の最悪値が予想でき、実測データも理論の予測どおりになっている。故に、近年、日本各地に起きている豪雨は、地球温暖化の影響があるかもしれないが、判断は慎重になったほうが良い(極値統計)

TI

本日の講義に関連する参考資料情報

スライドを使った講義は、図がベースであり、分かった気分になるかもしれないが、浅い理解で終わってしまうことが多いし、復習しようとしてもスライド資料だけでは不十分である。さらに理解を深めるためには、文章や式でまとめられた専門書などで復習をしてほしい。

今回の講演は、以下の内容をベースにしています

電波伝搬モデルの基礎:確率分布と統計的推定 唐沢、ネット公開私製本

http://www.radio3.ee.uec.ac.jp/ronbun/TR-YK-078_Probability_Distributions.pdf

電波技術・無線通信に関する各種技術レポートを唐沢研究室ホームページから公開しています http://www.radio3.ee.uec.ac.jp/

本講演に関するご質問・ご意見は E-mail: karasawa@mail.uec.jp まで